

PHYSIQUE DES COMPOSANTS SEMI-CONDUCTEURS

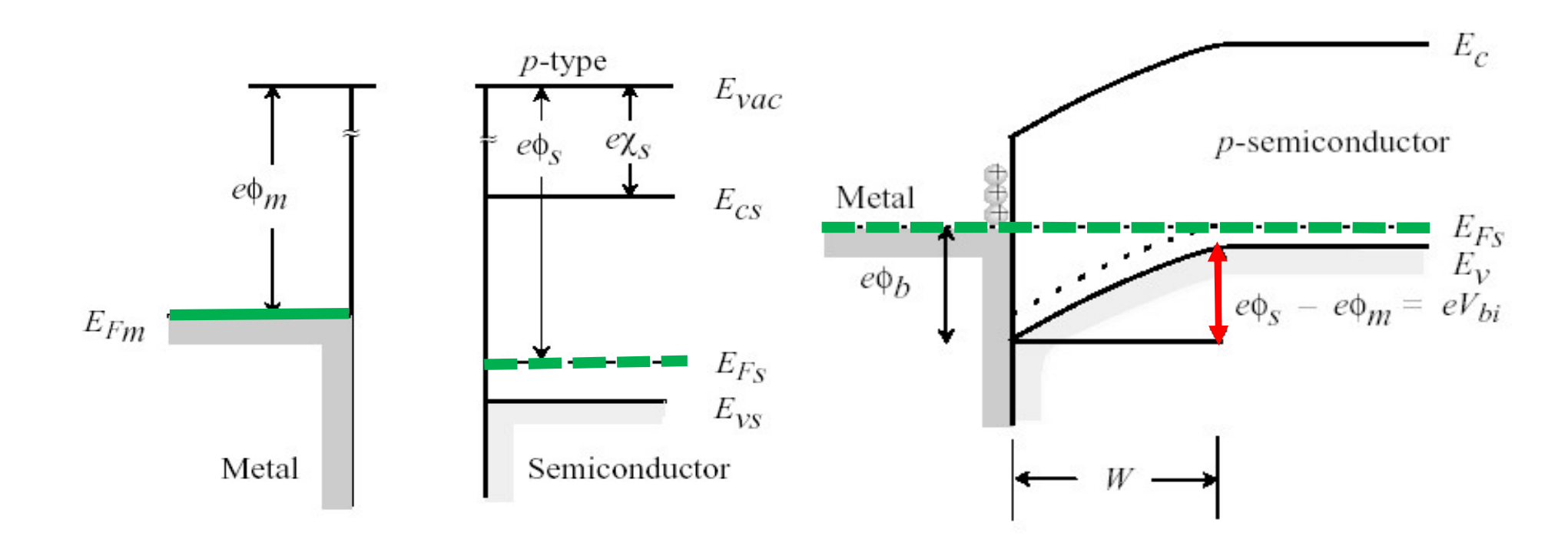
IX) Jonction MOS et structure CCD

P.A. Besse

EPFL



Formation d'une jonction Schottky sur substrat p



Sans contact

En contact: potentiel de built-in

$$V_{bi} = \phi_{\scriptscriptstyle S} - \phi_{\scriptscriptstyle m}$$

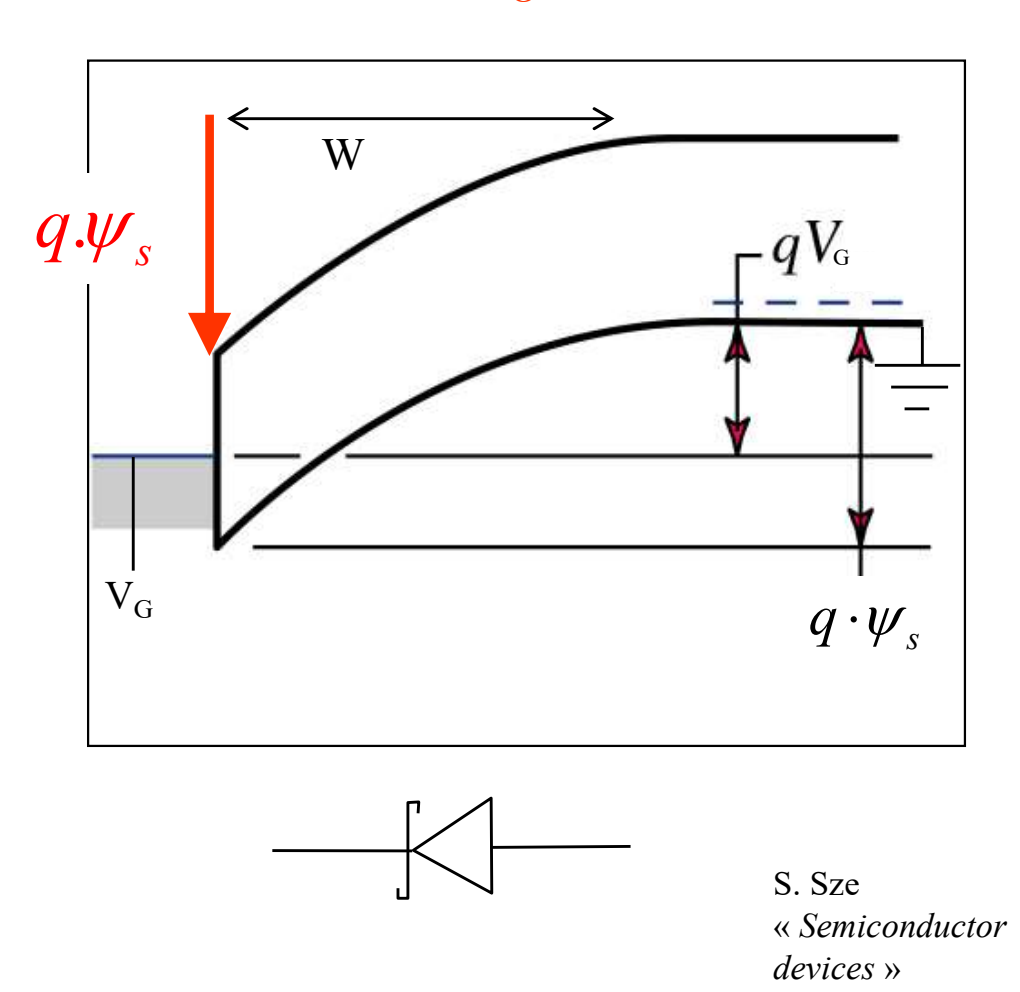
J. Singh « Semiconductor devices »



Jonction Schottky sur substrat p: hors équilibre

$$\psi_s = V_{bi} + V_G$$

Avec tension de bias V_G>0 sur le métal



$\begin{array}{c} \underline{\mathbf{Charges}} \\ \underline{\mathbf{Q_{sc}}} \\ \\ \underline{\mathbf{W}} \\ \\ \underline{\mathbf{Champ}} \\ \underline{\mathbf{electrique}} \\ \end{array}$

Déplétion



Jonction Schottky sur substrat p: Rappel des formules

Largeur de la zone de déplétion:

$$W = \sqrt{\frac{2\varepsilon_0 \varepsilon_s}{q N_A}} \cdot \sqrt{\psi_s}$$

$$\psi_{s} = V_{bi} + V_{G}$$

Capacité surfacique de jonction:

$$C_B = \frac{\varepsilon_0 \varepsilon_s}{W} = \sqrt{\frac{q N_A \cdot \varepsilon_0 \varepsilon_s}{2} \frac{1}{\sqrt{\psi_s}}} \quad [F / m^2]$$

Charges d'espace:

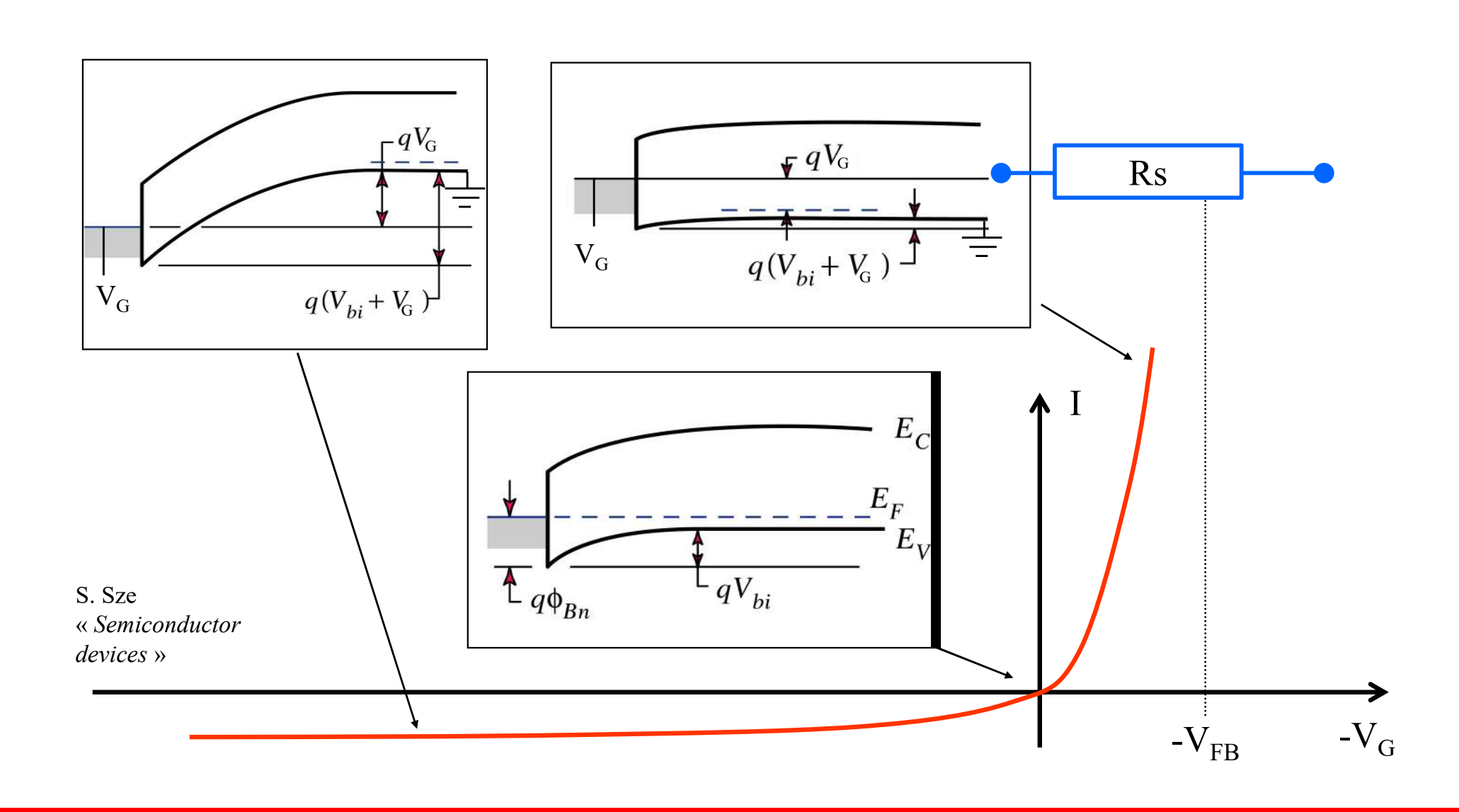
$$\begin{aligned} Q_{sc} &= -qN_A \cdot W = -\sqrt{2qN_A \cdot \varepsilon_0 \varepsilon_s} \cdot \sqrt{\psi_s} \\ &= -2 \cdot C_{B,0} \cdot \sqrt{\psi_{s,0}} \cdot \sqrt{\psi_s} \end{aligned}$$

Champ électrique maximal:

$$E_{\text{max}} = \frac{q N_A W}{\varepsilon_0 \varepsilon_s} = \frac{q N_A}{C_B} = \sqrt{\frac{2q N_A}{\varepsilon_0 \varepsilon_s}} \cdot \sqrt{\psi_s}$$



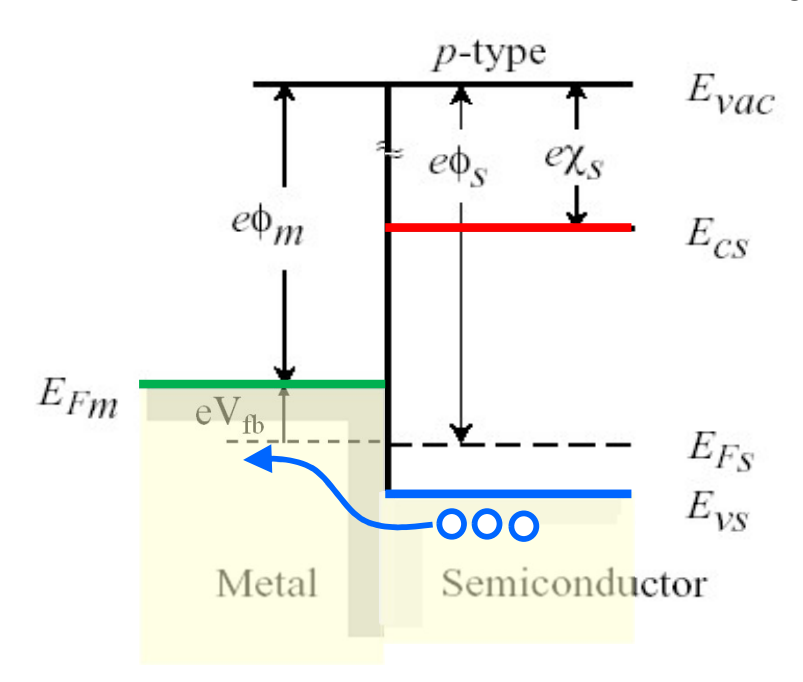
Jonction Schottky sur substrat p: courbe I(V)

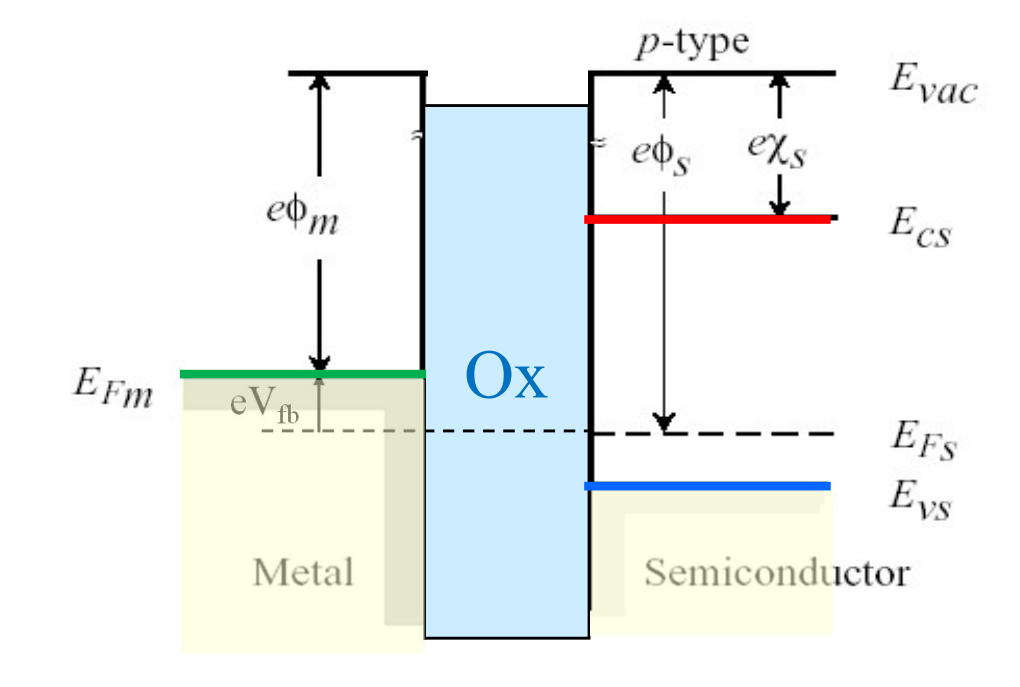




Jonction Schottky et MOS: « Flat Band »

J. Singh « Semiconductor devices »





Jonction Schottky:
Impossible car courant diverge

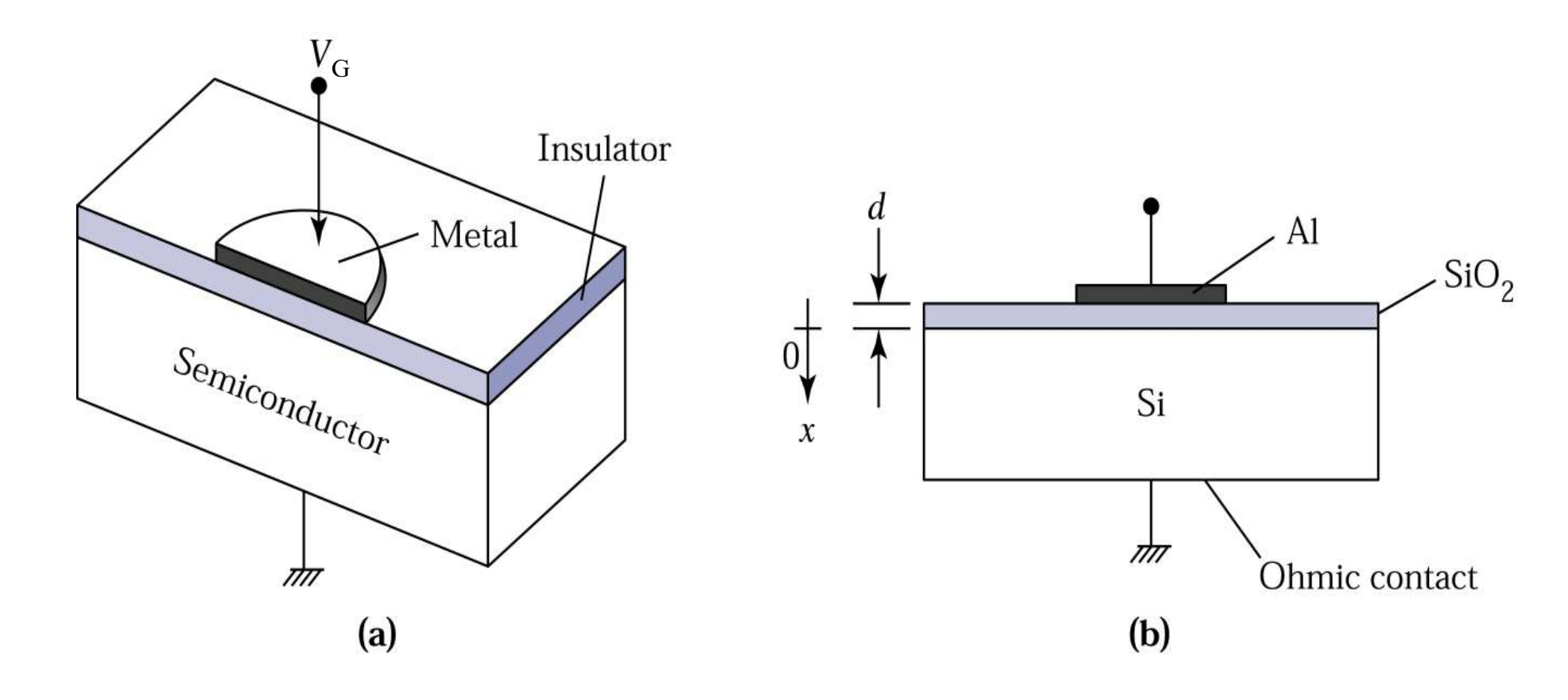
Jonction Métal/Oxyde/Semi-conducteur:
→ Pas de courant

Condition de « Flat Band »:

$$V_G = V_{fb} = -V_{bi} = \phi_m - \phi_s$$



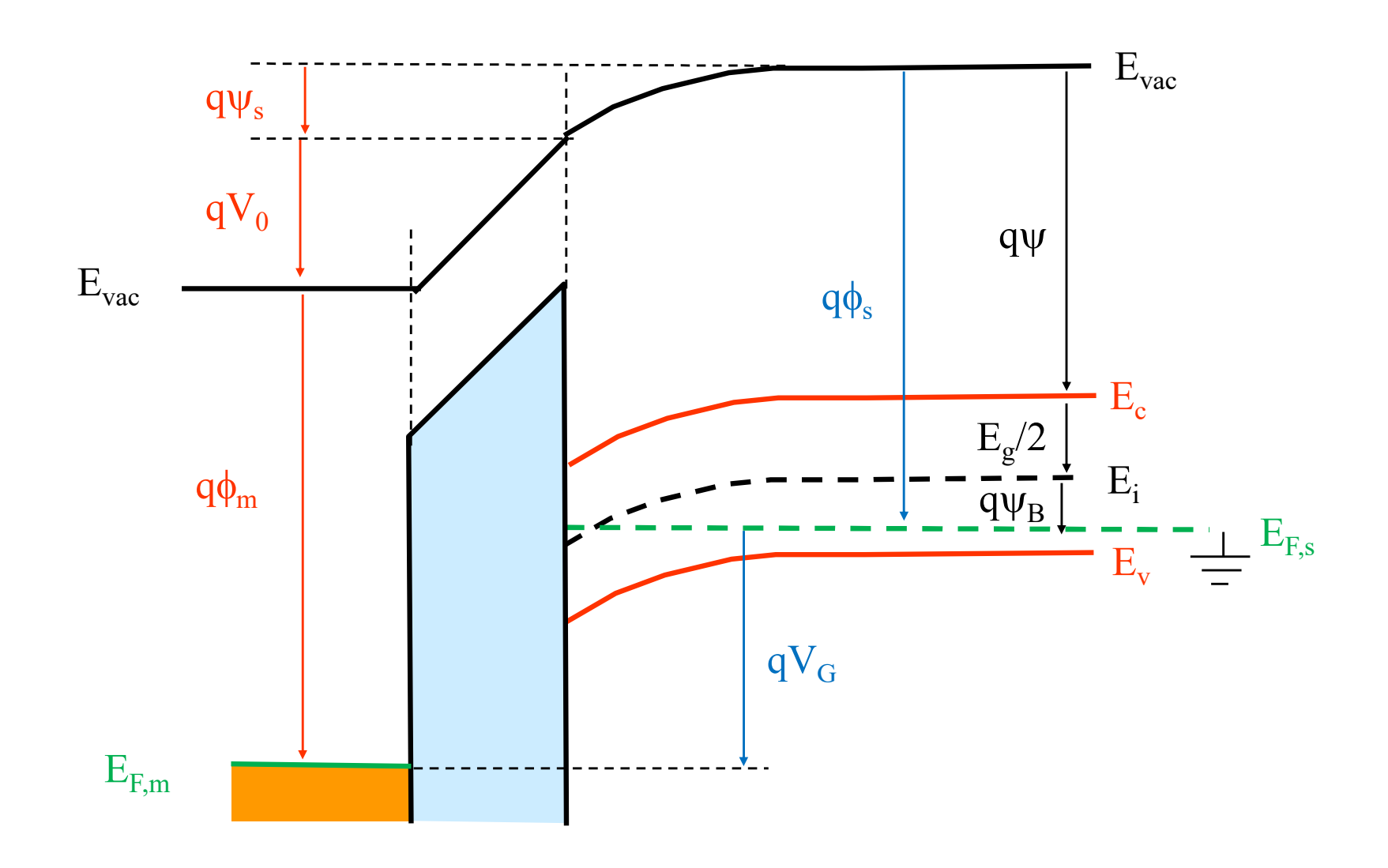
Jonction MOS: vue schématique



S. Sze « Semiconductor devices »



Schéma de bandes





Définition des potentiels

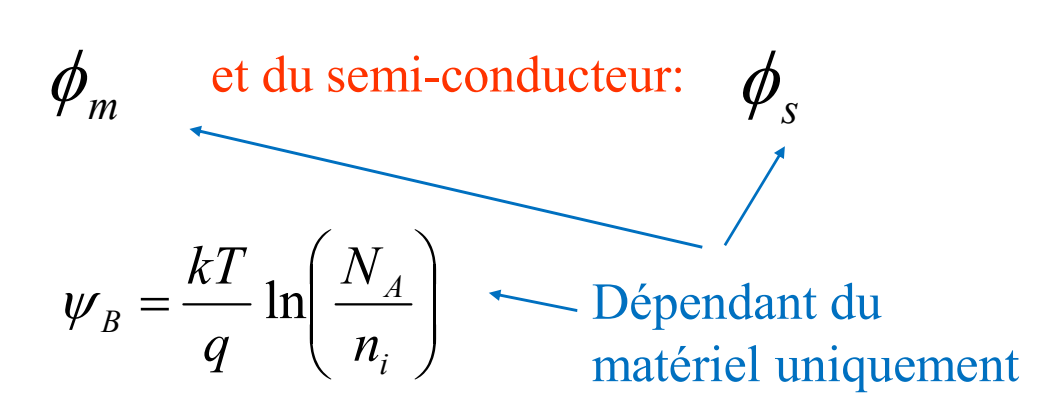
Work functions du métal

Potentiel dû au dopage:

Potentiel de surface dû à la charge d'espace dans la zone de déplétion:

Saut de potentiel sur l'oxyde:

Tension de bias sur le métal:



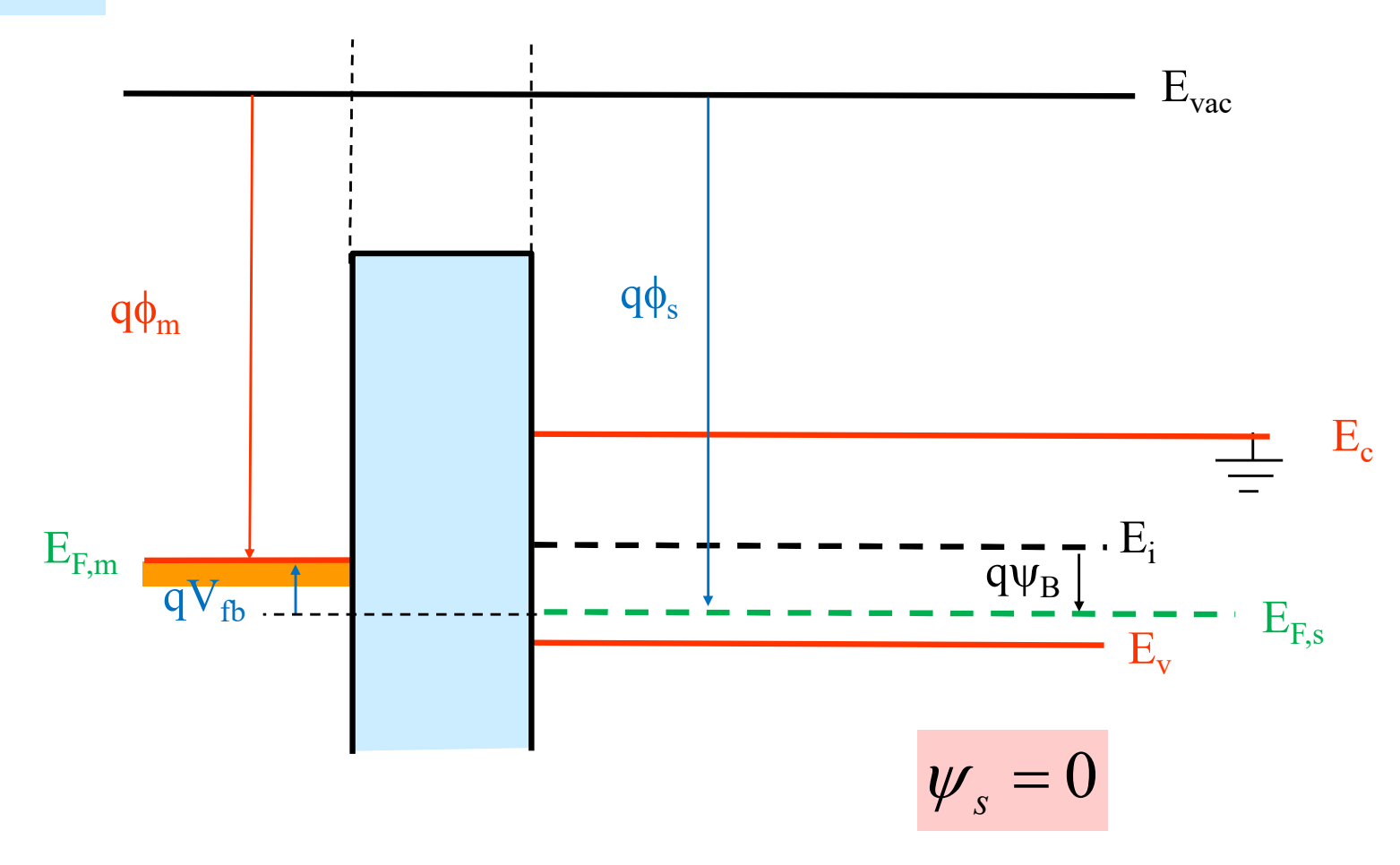
$$V_s$$
Variables en fct du bias V_G

 V_{G}



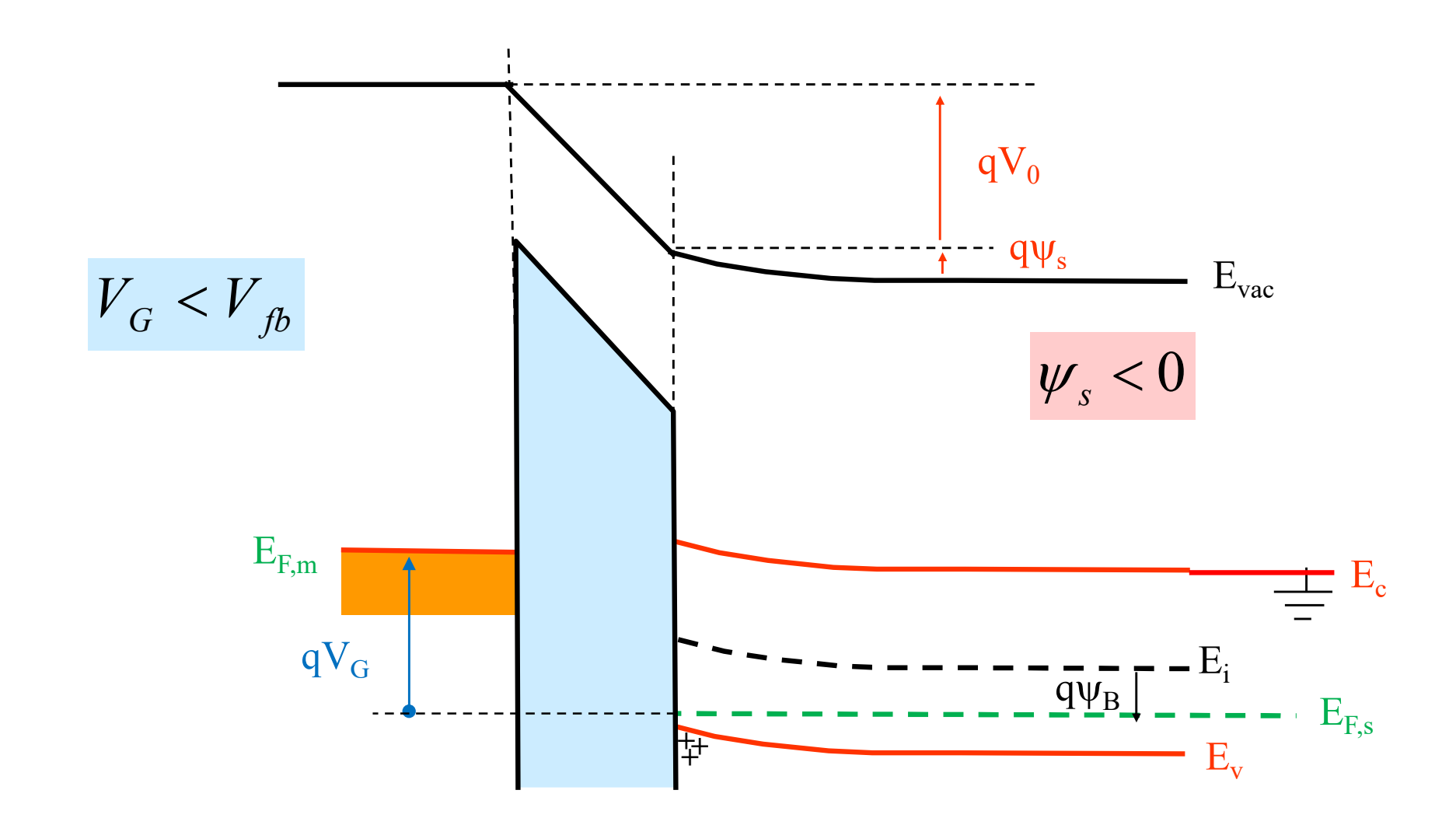
Flat Band

$$V_G = V_{fb} = \phi_m - \phi_s$$



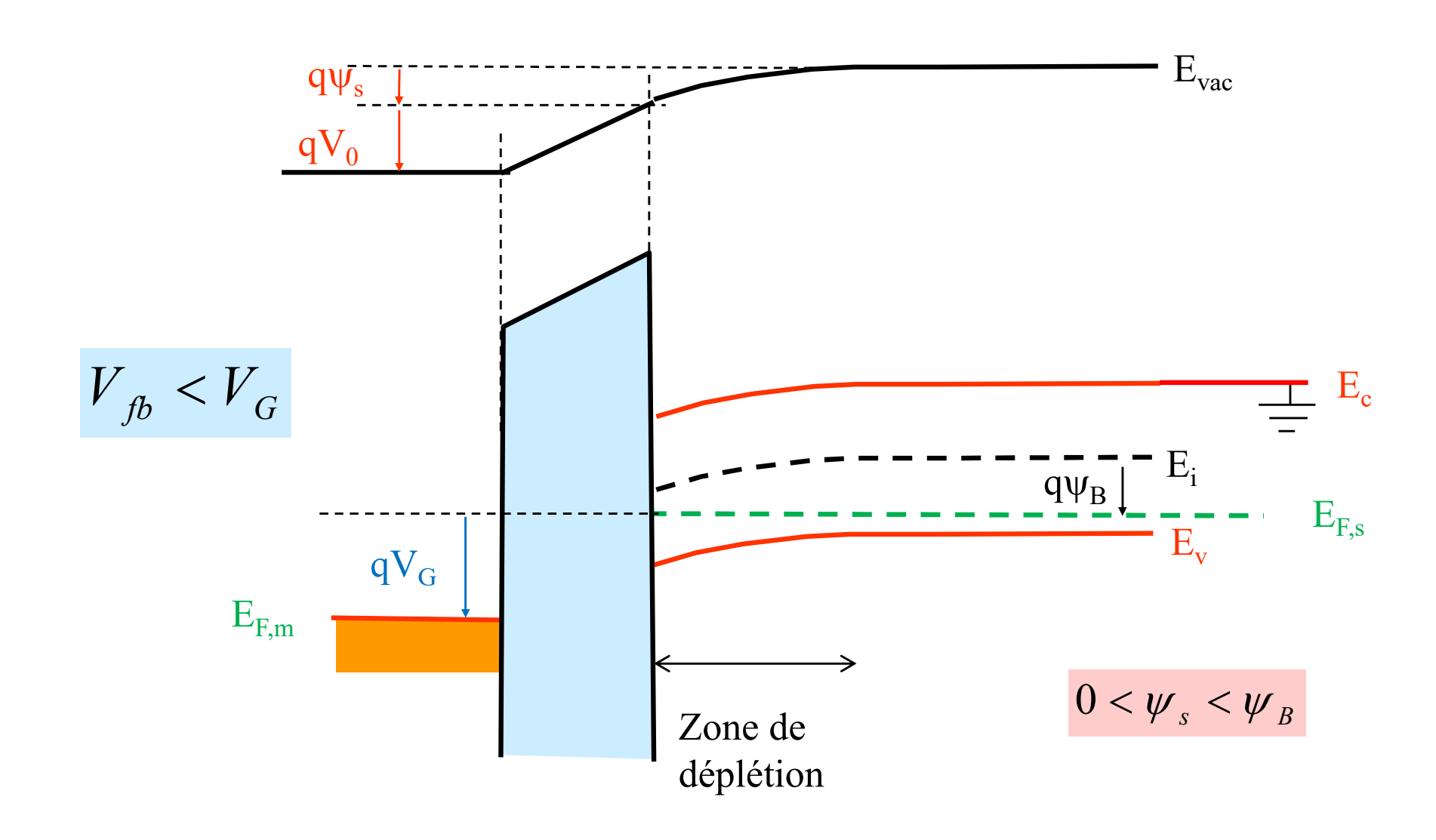


Accumulation



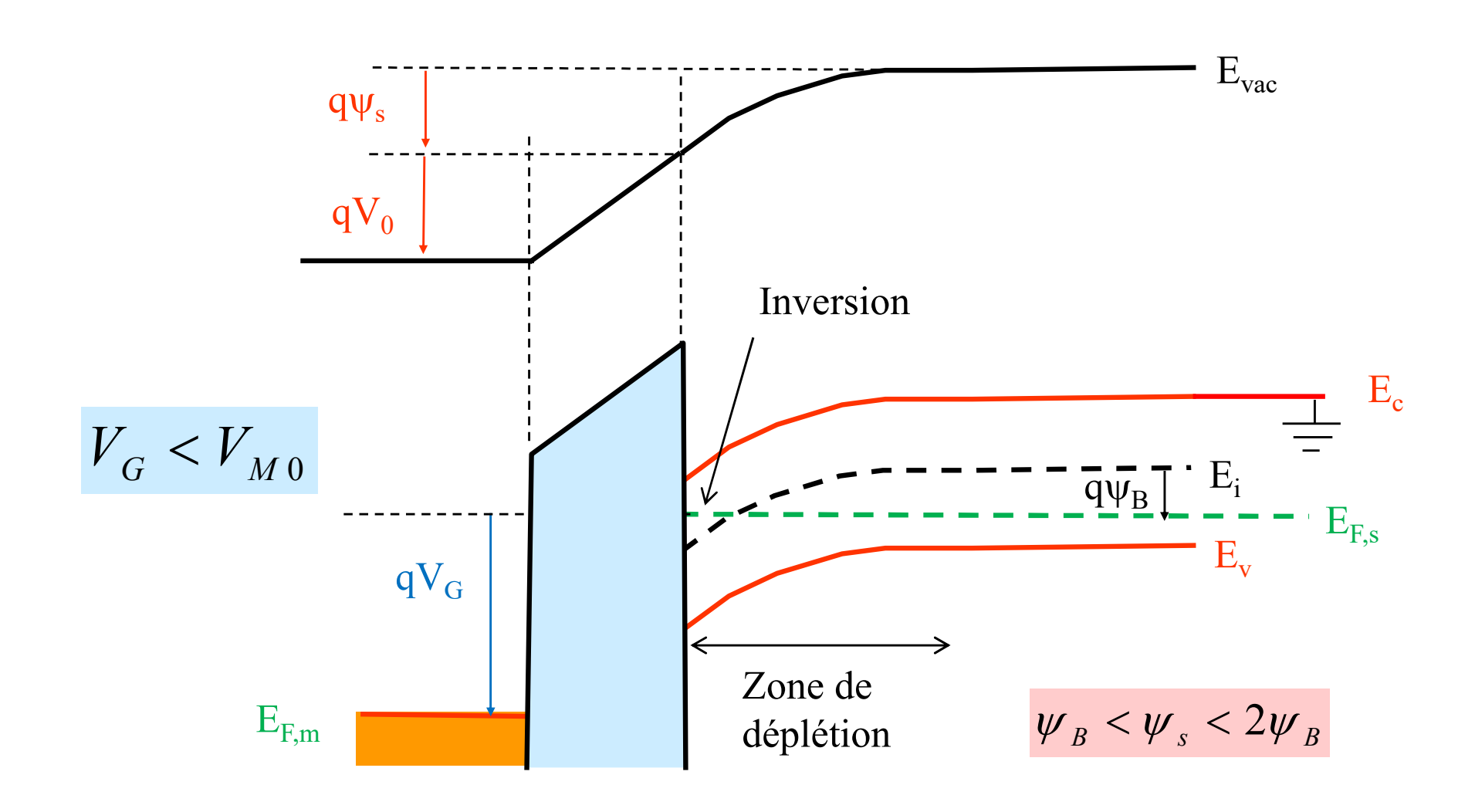


Déplétion



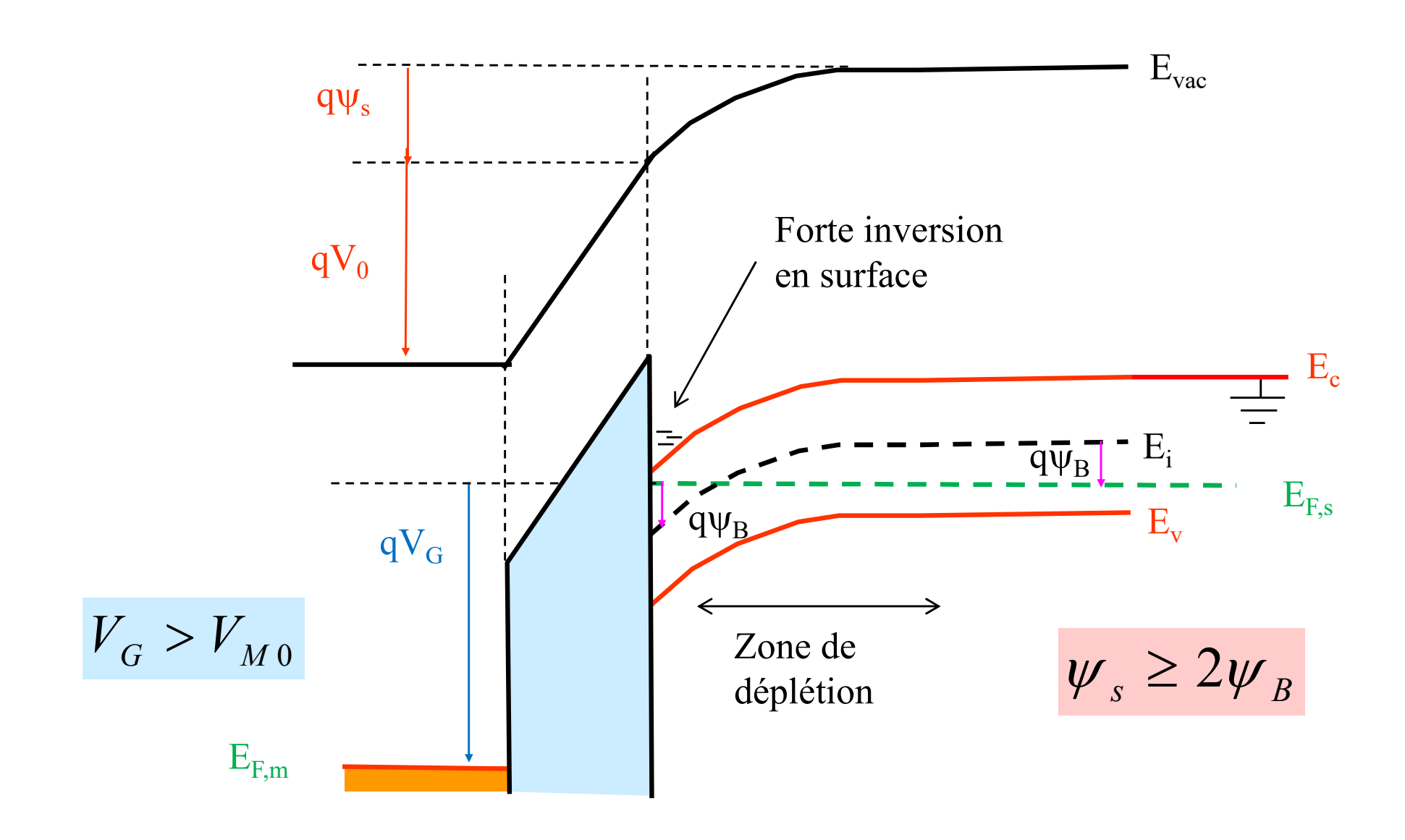


Inversion faible





Inversion forte

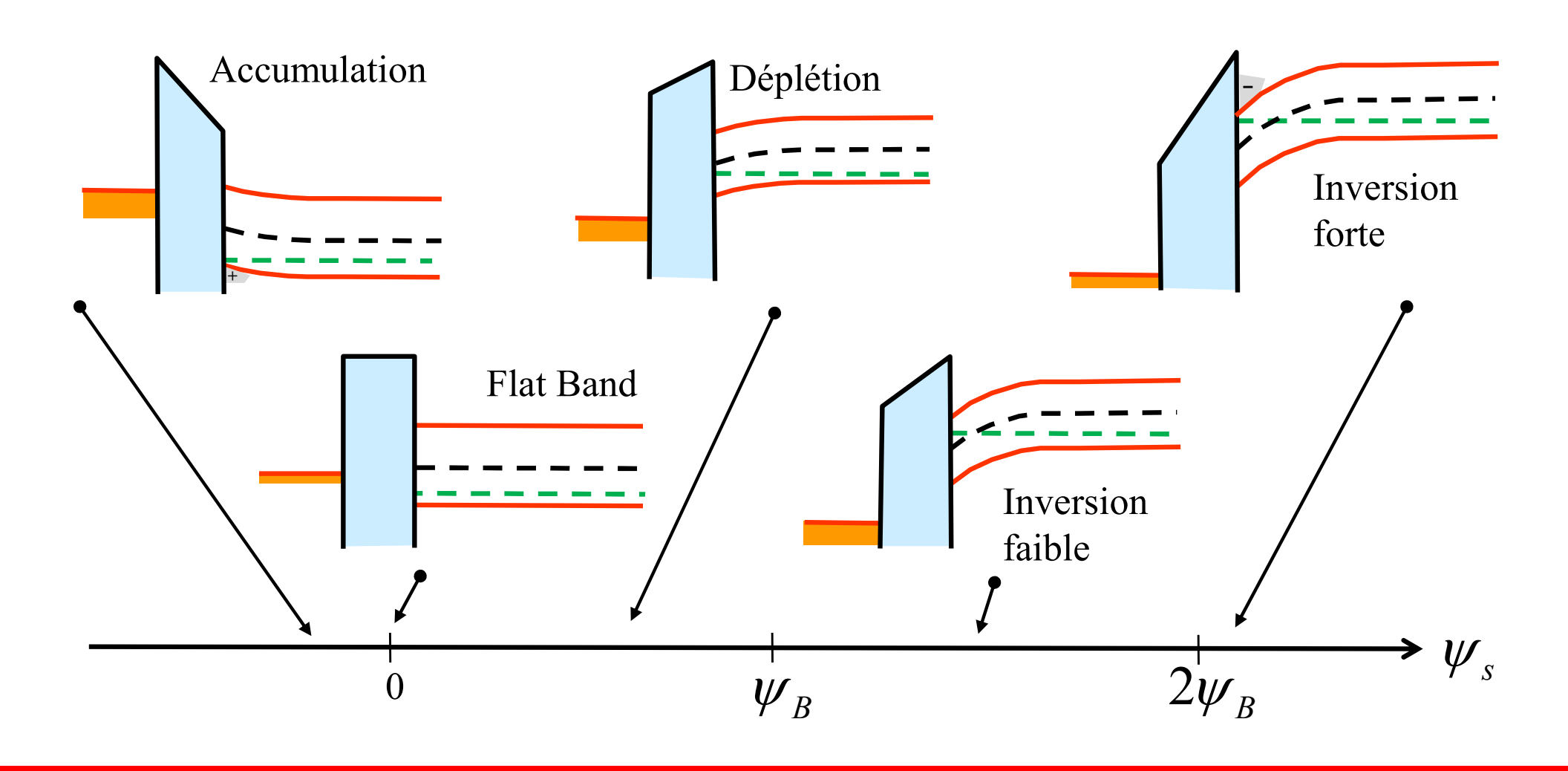




Pliage des bandes et potentiel de surface

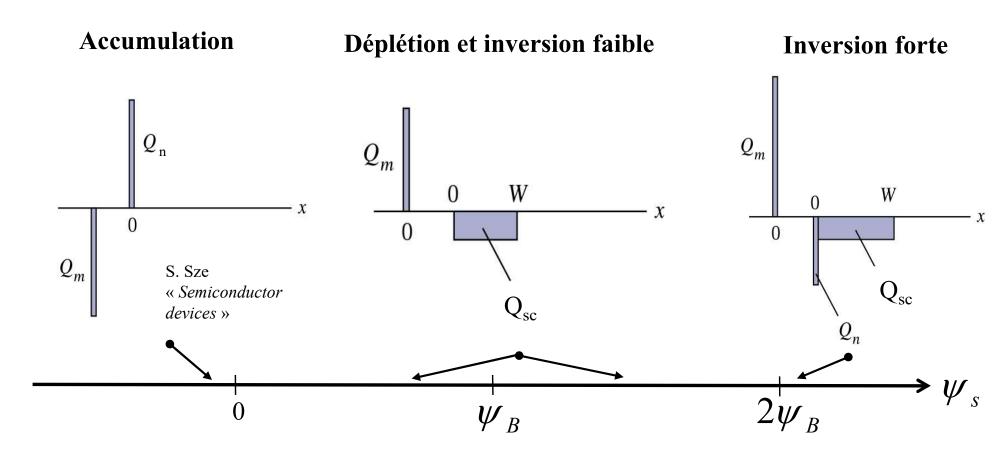


Principe: pas de courant \rightarrow énergie de Fermi E_F constante





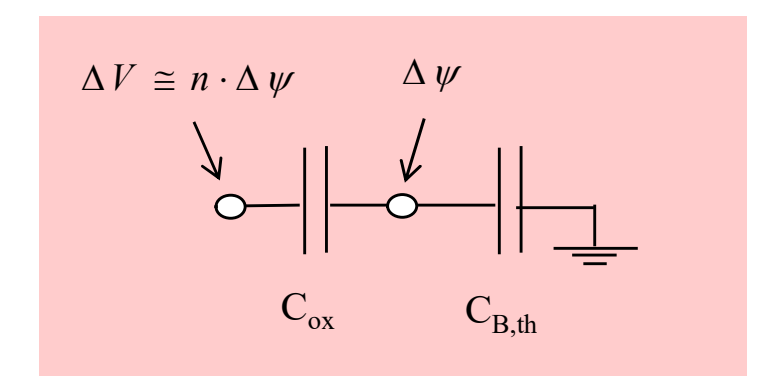
Charges fixes et charges libres: approximation

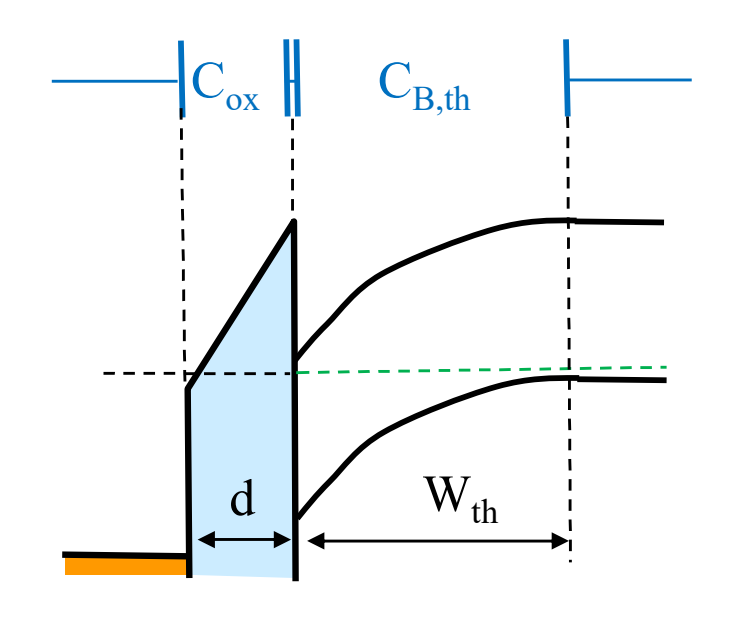


Charge d'espace Q_{sc} : Charge de surface Q_n : Charge Q_m : charges fixes dans la zone de déplétion charges libres en surface du semiconducteur charges libres en surface du métal.



Paramètres: capacités et « slope factor n »





Capacité surfacique de l'oxyde:

$$\overline{C}_{ox} = \frac{\mathcal{E}_0 \mathcal{E}_{ox}}{d}$$

Capacité surfacique « Bulk » au threshold:

$$\overline{C}_{B,th} \equiv \frac{\varepsilon_0 \varepsilon_s}{W_{th}} = \frac{1}{2} \frac{\sqrt{2\varepsilon_0 \varepsilon_s q N_A}}{\sqrt{2\psi_B}}$$

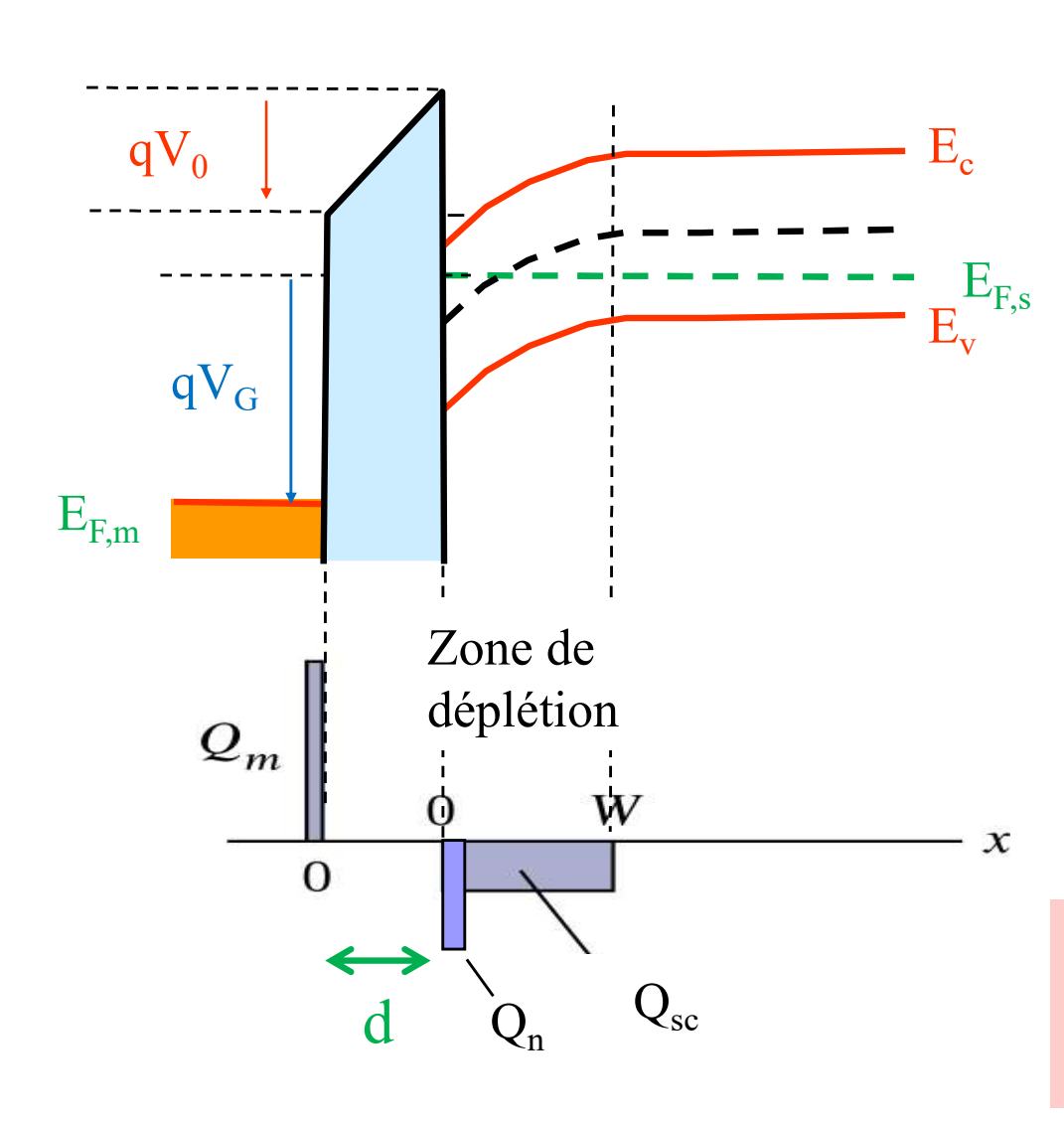
Slope factor n:

$$n \equiv \frac{Z_{B,th} + Z_{ox}}{Z_{B,th}} = 1 + \frac{Z_{ox}}{Z_{B,th}}$$

$$n \equiv 1 + \frac{\overline{C}_{B,th}}{\overline{C}_{ox}} \ge 1$$



Saut de potentiel V₀ sur l'oxyde



L'oxyde est un condensateur, chargé avec Q_m:

$$Q_m = C_{ox} \cdot V_0$$
 avec $C_{ox} = \frac{\mathcal{E}_0 \mathcal{E}_{ox}}{d}$

Le champ électrique est nul aux deux extrèmités →

$$Q_m = -\left(Q_n + Q_{sc}\right)$$

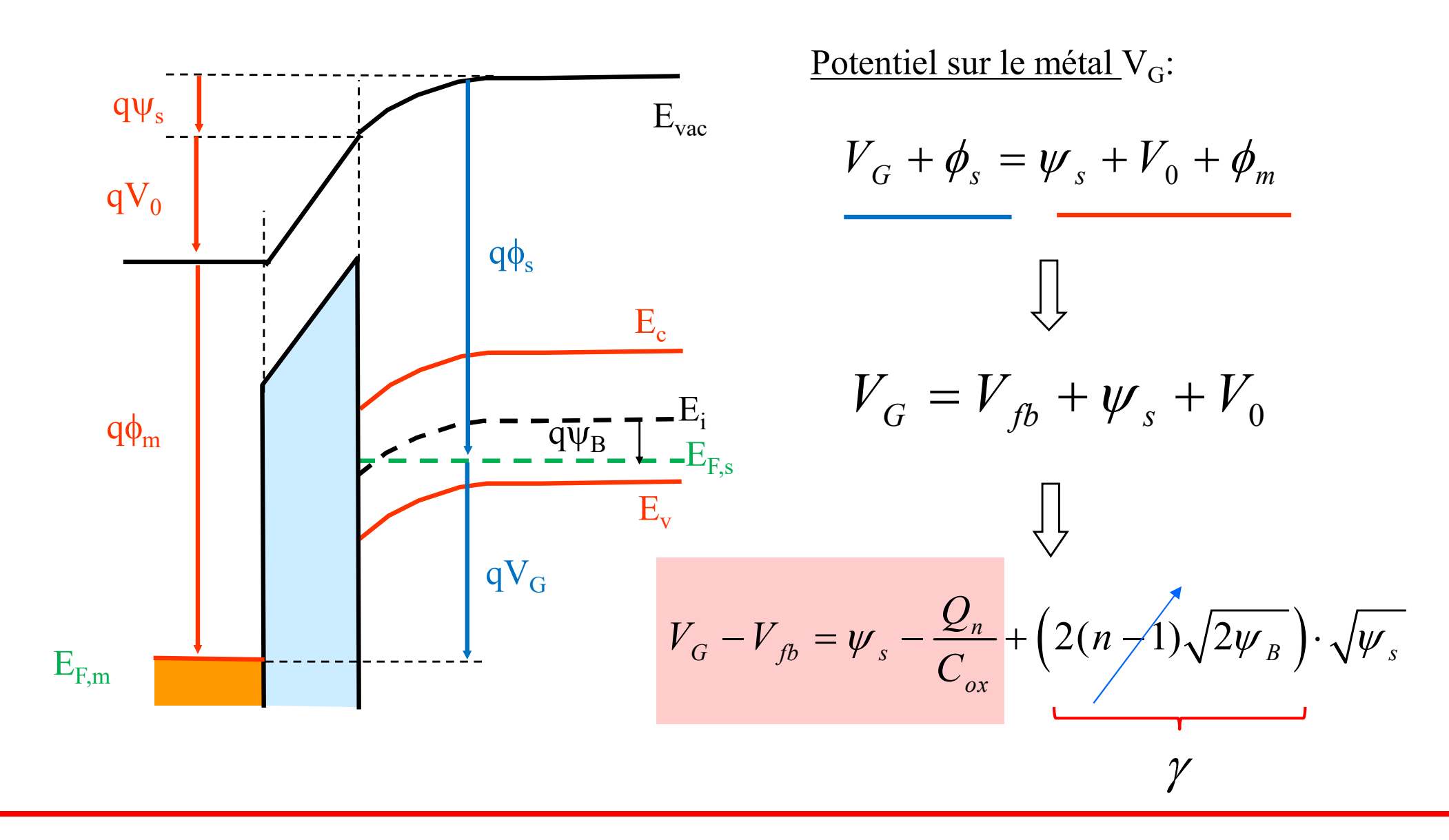
Saut de potentiel sur l'oxyde:

$$V_0 = -\frac{Q_n}{C_{ox}} - \frac{Q_{sc}}{C_{ox}}$$

$$V_0 = -\frac{Q_n}{C_{ox}} + \left(2\frac{C_{B,th}}{C_{ox}}\sqrt{2\psi_B}\right) \cdot \sqrt{\psi_s}$$



Potentiels et tensions

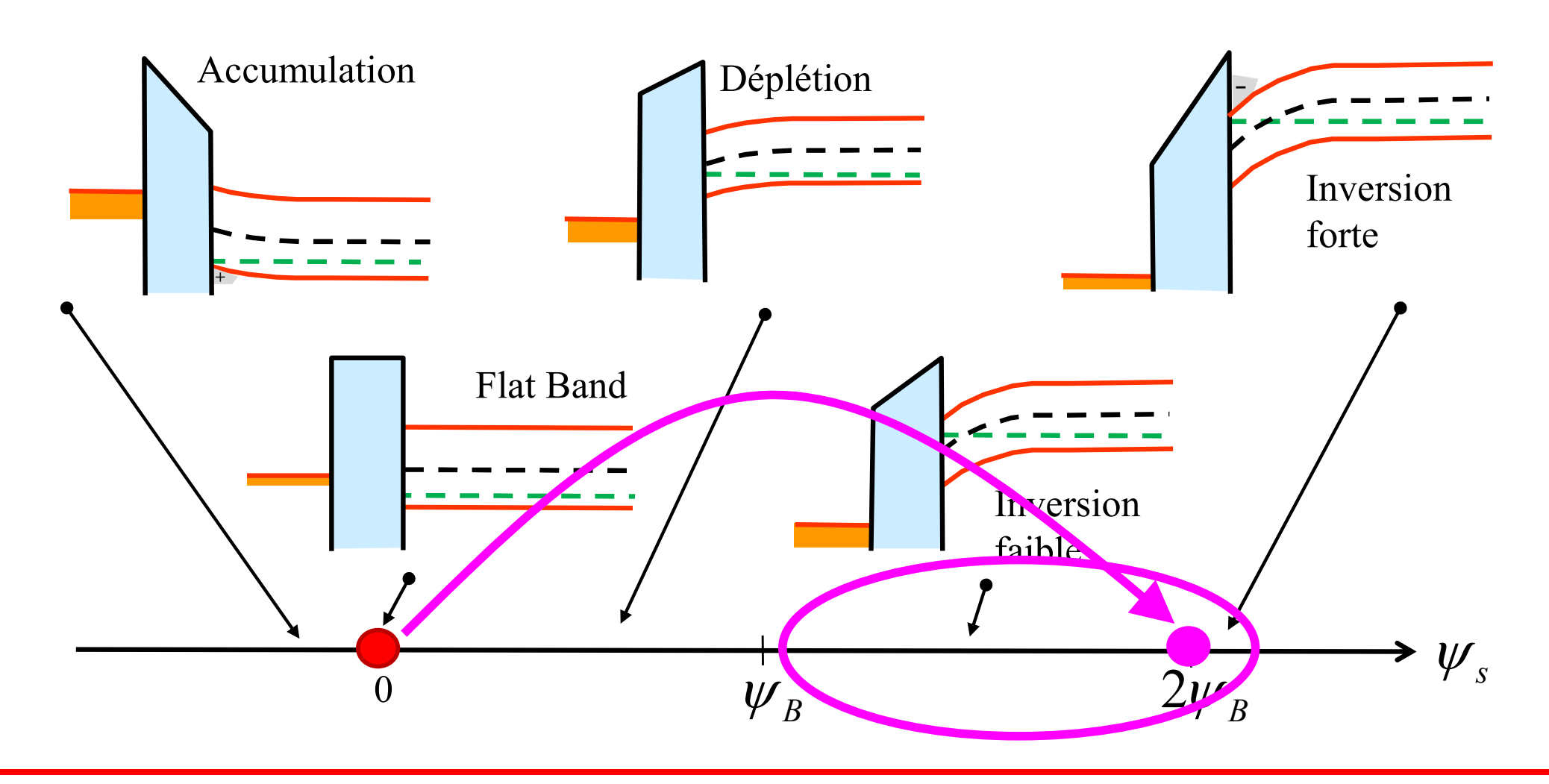




Pliage des bandes et potentiel de surface



Principe: pas de courant \rightarrow énergie de Fermi E_F constante





Threshold voltage V_{M0} et réécriture de l'équation du potentiel

Au threshold:

$$Q_n = 0$$
 et $\psi_s = 2\psi_B$

Tension de threshold avec un substrat à la masse:

$$V_{M0} - V_{fb} = 2\psi_B \cdot (2n-1)$$

En général: équation centrale réécrite en fonction de V_{M0} :

$$V_{G} - V_{M0} = (\psi_{s} - 2\psi_{B}) - \frac{Q_{n}}{C_{ox}} + (2(n-1)\sqrt{2\psi_{B}}) \cdot (\sqrt{\psi_{s}} - \sqrt{2\psi_{B}})$$

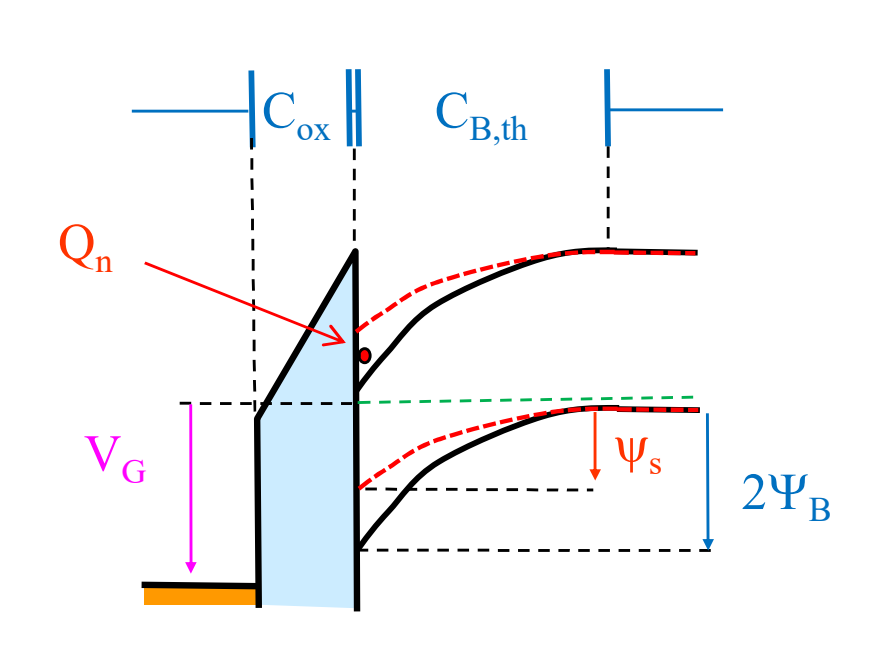
Développement de Taylor :

$$V_G - V_{M0} \cong n \cdot (\psi_s - 2\psi_B) - \frac{Q_n}{C_{ox}}$$



Paramètres et inconnues pour une jonction MOS





Paramètres

Déterminés à la tension de threshold $V_{\rm M0}$

Potentiel de surface au threshold $2\psi_B$

Tension de flat-band V

Tension de gate V

Capacité surfacique d'oxyde $\overline{C}_{ox} = \frac{\varepsilon_0 \varepsilon_{ox}}{d}$

Capacité surfacique du bulk $\overline{C}_{B.th} = \frac{\mathcal{E}_0 \mathcal{E}_s}{W_{th}}$ au threshold

Slope factor $n = 1 + \frac{C_{B,th}}{\overline{C}_{ox}}$

Inconnues Potentiel de surface Ψ_s

Charges libre en surface Q_n



Inconnues et équations pour une jonction MOS sur substrat p



2 inconnues

A) Potentiel de surface ψ_s :

$$\psi_{s}$$

B) Charge libre à l'interface Q_n reliée au potentiel sur l'oxyde

 Q_n

Threshold

$$V_{M0} - V_{fb} = 2\psi_B \cdot (2n - 1)$$

2 équations en fct de V_G:

1)
$$\frac{V_G - V_{M0}}{n} \cong (\psi_s - 2\psi_B) - \frac{Q_n}{nC_{ox}}$$

2) Approximations

- Accumulation

$$\psi_s \cong 0$$

- Déplétion

- Inversion faible

$$Q_n = 0$$

- Déplétion profonde

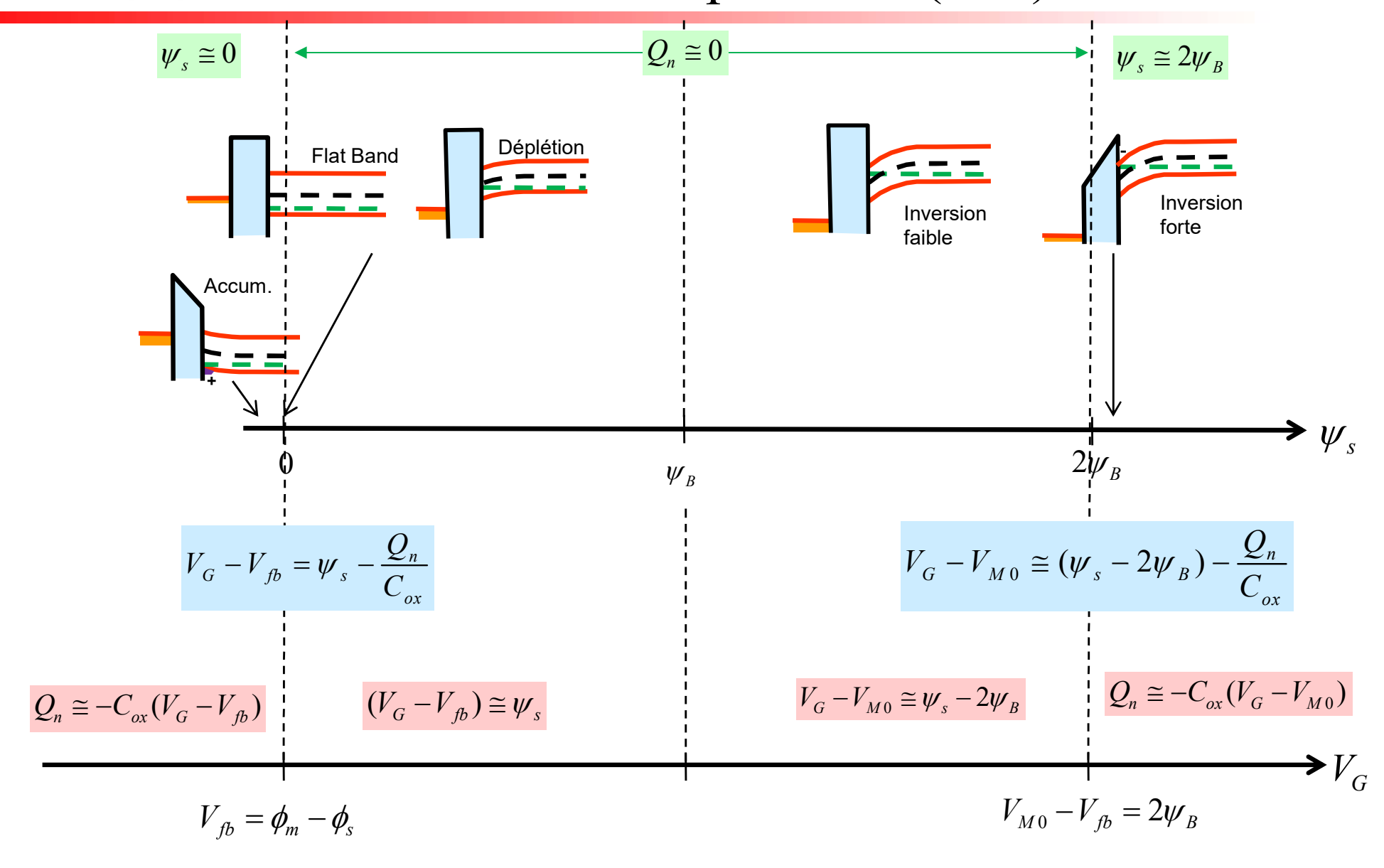
- Inversion forte

$$\psi_s \cong 2\psi_B$$



Résumé: Formules sans slope factor (n=1)

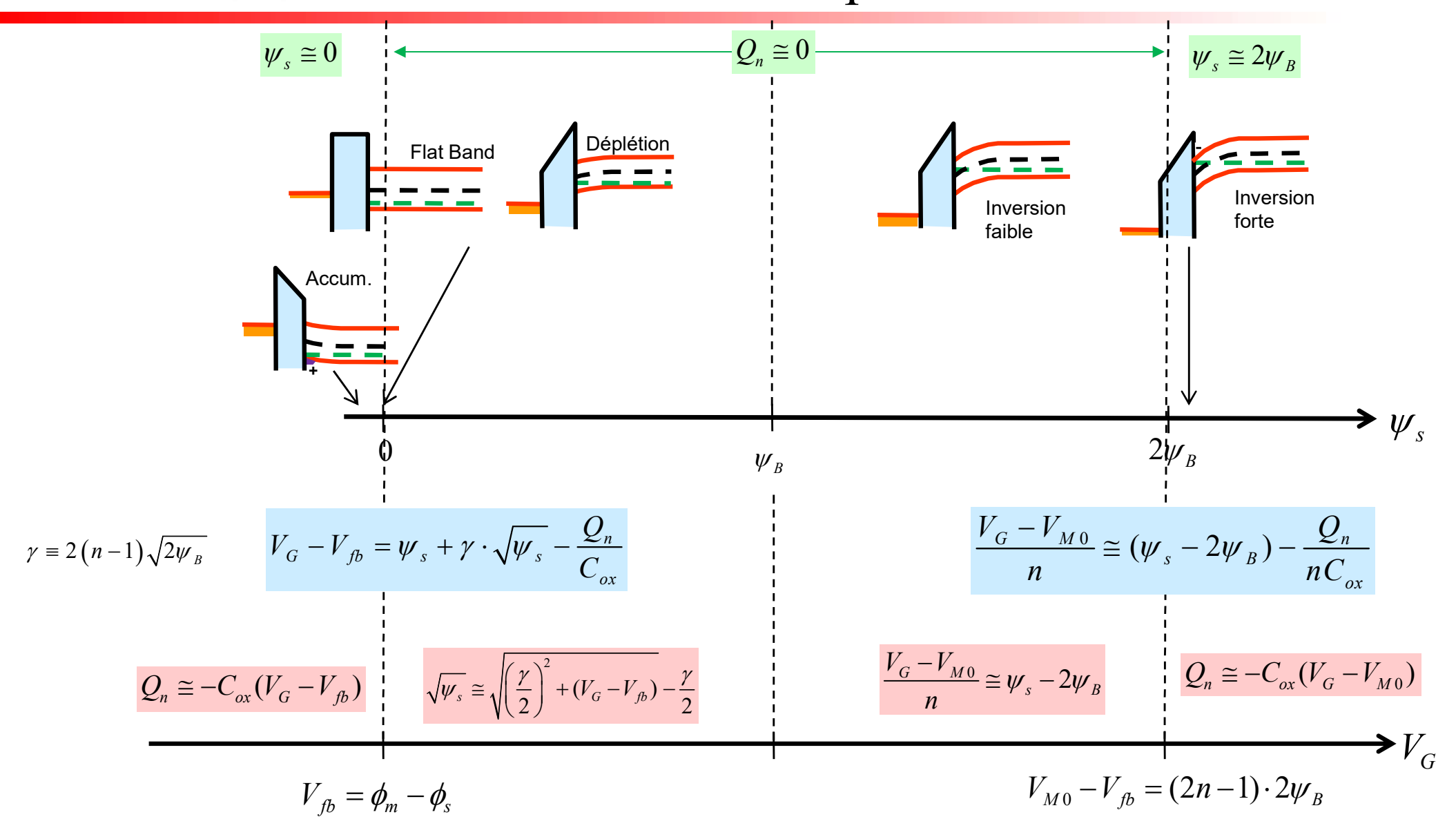






Résumé: Formules avec slope factor n

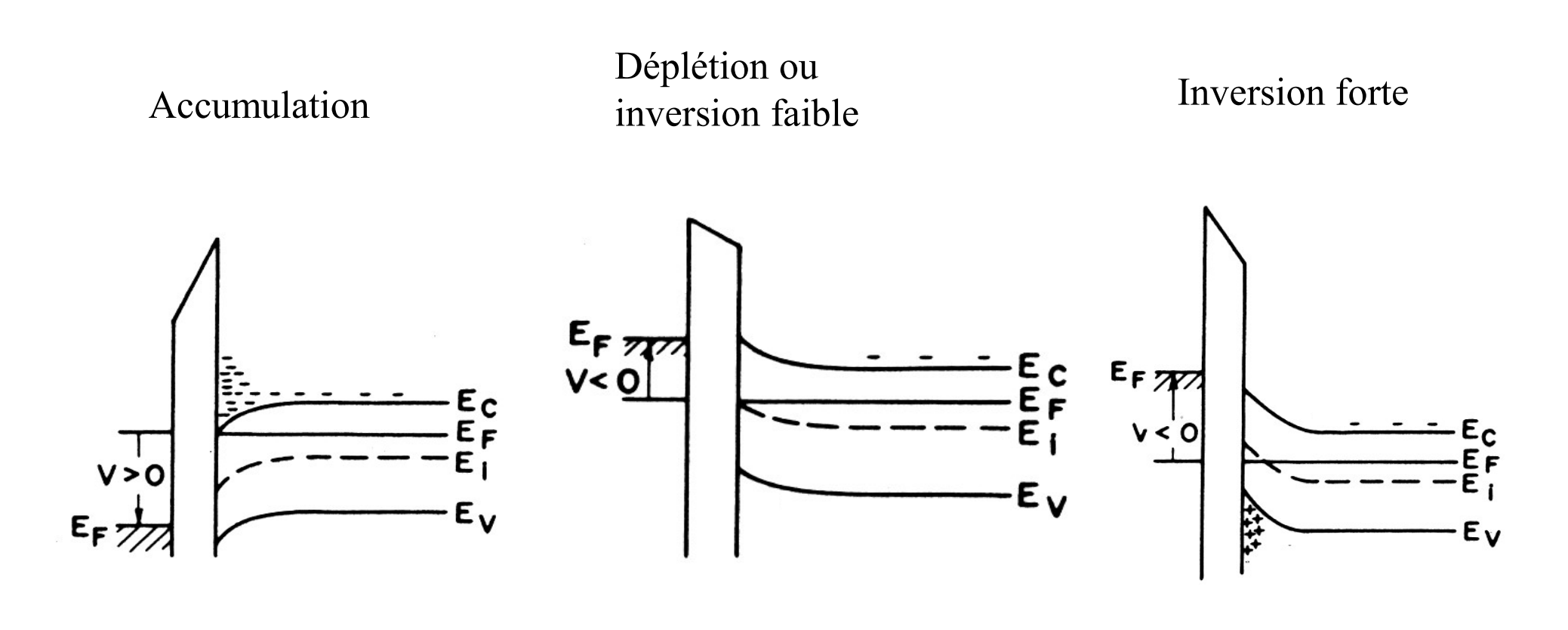






Jonction MOS sur substrat n

S. Sze « Physics of semiconductor devices »



Les calculs sont totalement similaires



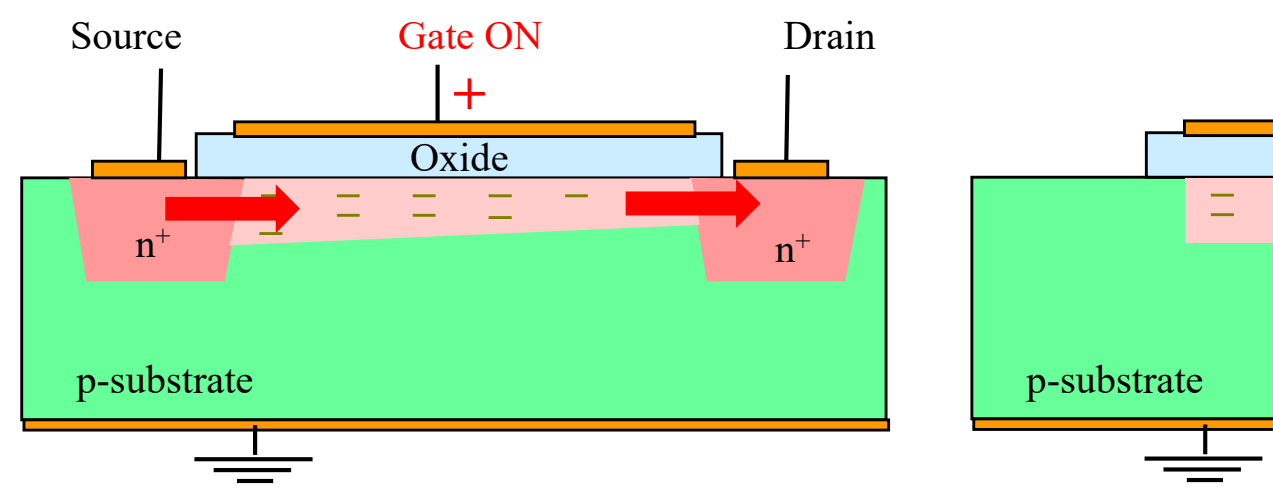
Origin of Electrons at the Interface

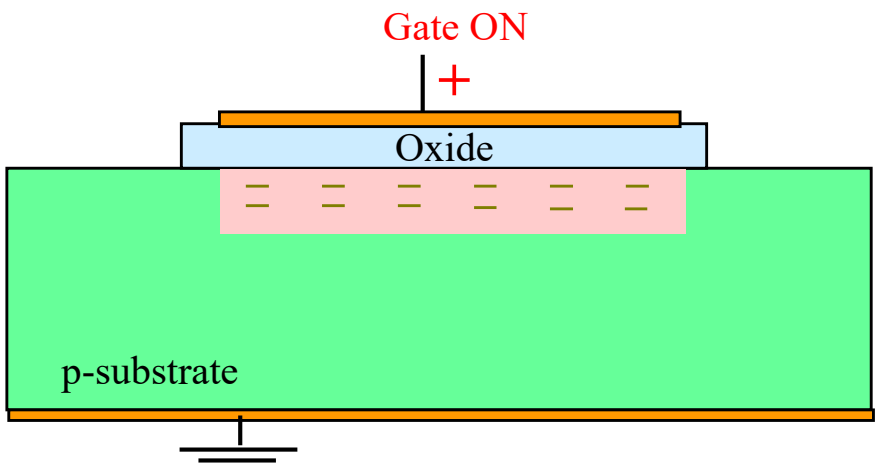
Ed Discussion

Je ne suis pas sûr d'avoir compris si un courant passe à-travers l'oxyde. Comment pourrait-on expliquer cette accumulation de charge négative du côté du semi-conducteur si aucun transfert se produit entre le métal et le semi conducteur?

NMOS Transistor

MOS Capacitor





Injection and extraction from the source and the drain

With neither source nor drain: ??? Origin ???



Origine des électrons dans le canal

NMOS transistor





©Wikipe.

Canal de Corinthe

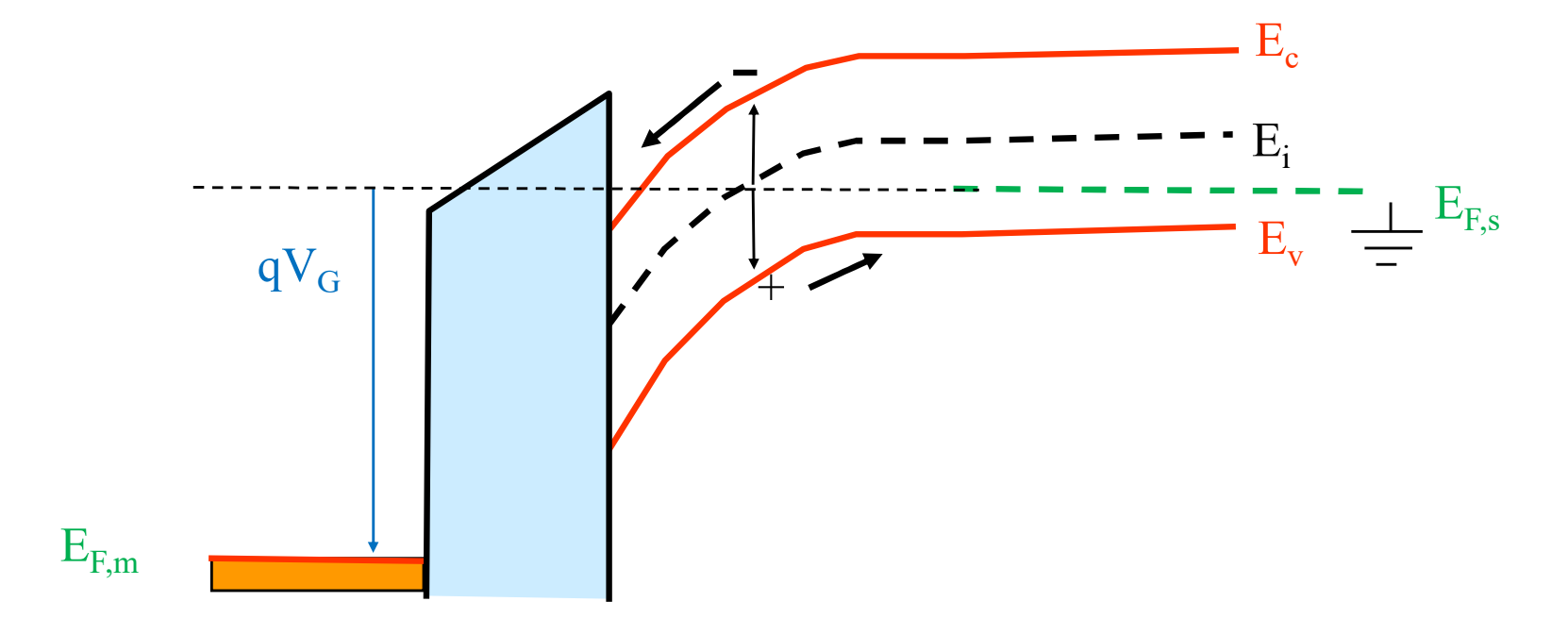
Drainage d'une tourbière



Jonction MOS en déplétion profonde

Appliquer soudainement un potentiel V_G>V_{M0}, d'où provient la charge d'inversion ?

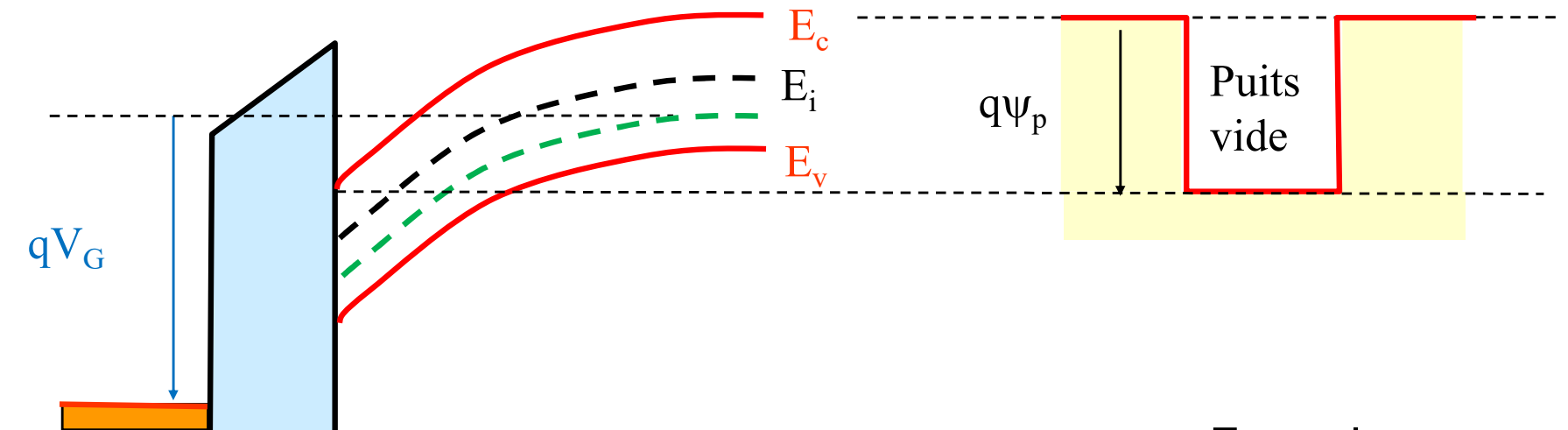
Les électrons s'accumulent lentement par génération thermique





Potentiel de surface en déplétion profonde

<u>Déplétion profonde</u> $|\mathbf{Q}_n| = \mathbf{0}$



$$\psi_p \cong \frac{V_G - V_{M0}}{n} + 2\psi_B$$

Exemple:

$$2\psi_B$$
=0.6 V

$$n=4/3$$

$$V_{M0}=1 V$$

$$V_G=10 V$$

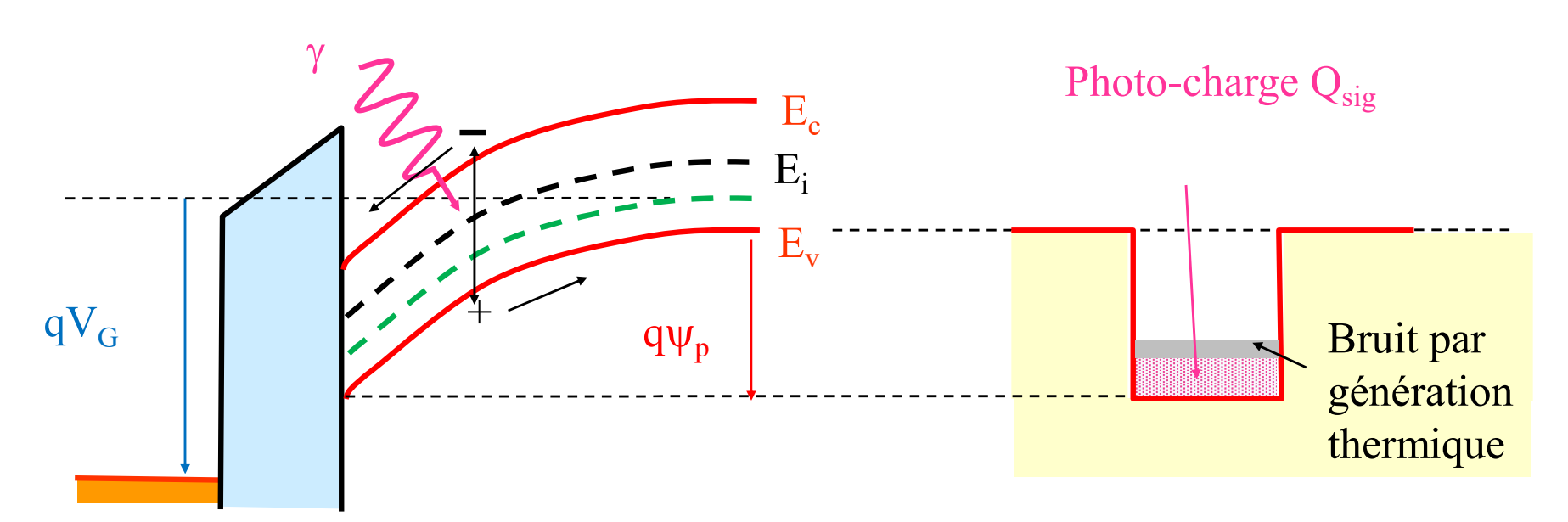
$$\rightarrow$$
 ψ_p =7.35 V



Photo-génération et accumulation de charges

Appliquer soudainement un potentiel V_G>V_{M0}:

Les photo-électrons s'accumulent



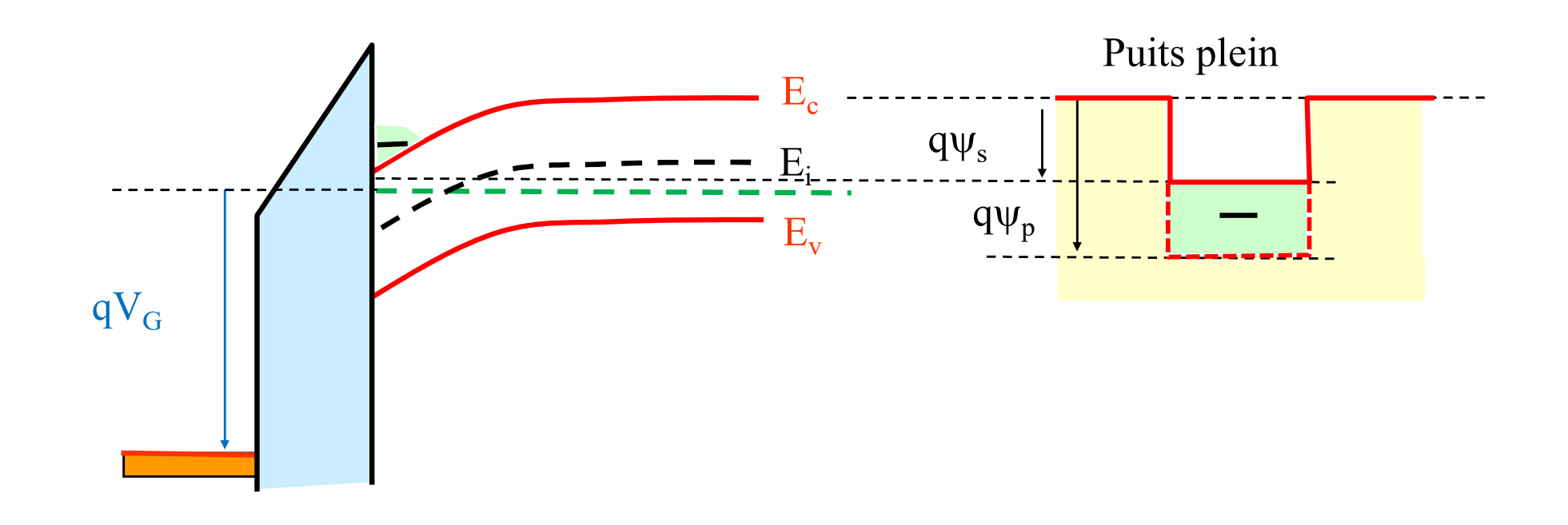
Electrode transparente (ITO)

Remarque:

ne fonctionne qu'avec un temps de mesure plus court que le temps de retour à l'équilibre.



Influence des charges libres sur le potentiel de surface



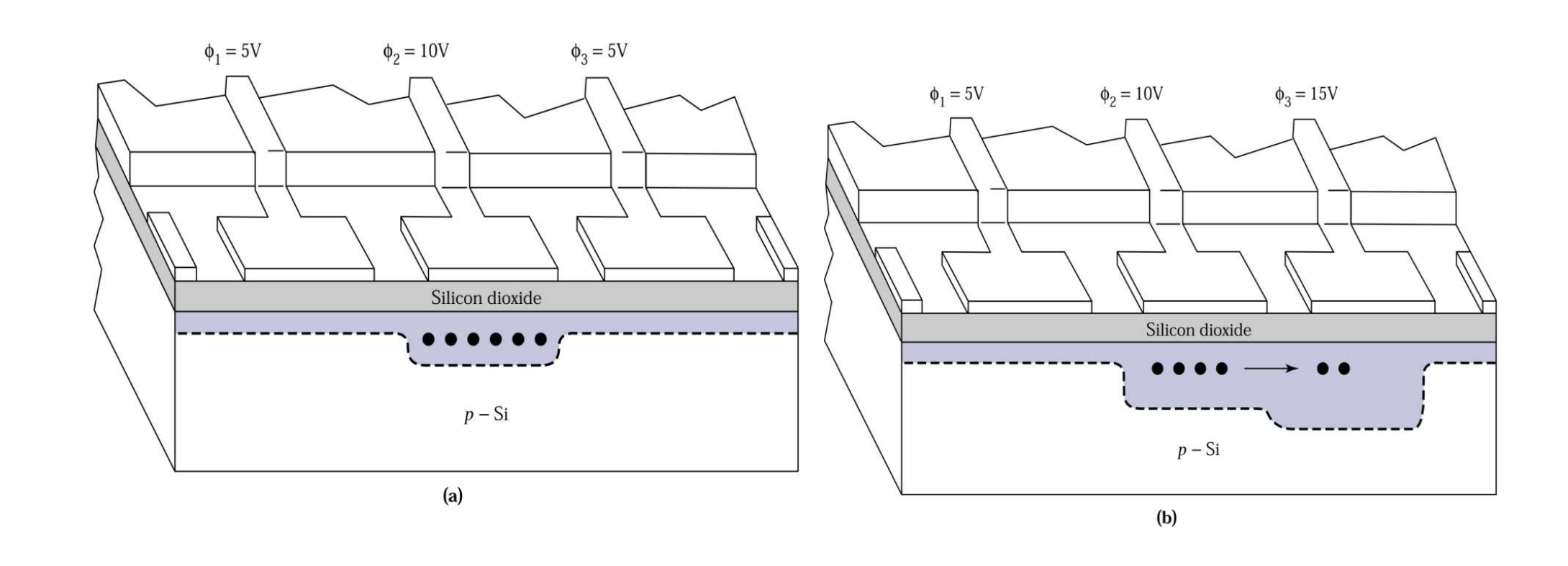
$$\psi_{s} \cong \frac{V_{G} - V_{M0}}{n} + 2\psi_{B} + \frac{Q_{n}}{nC_{ox}}$$

$$\psi_{p}$$



Registre CCD: transfert d'information

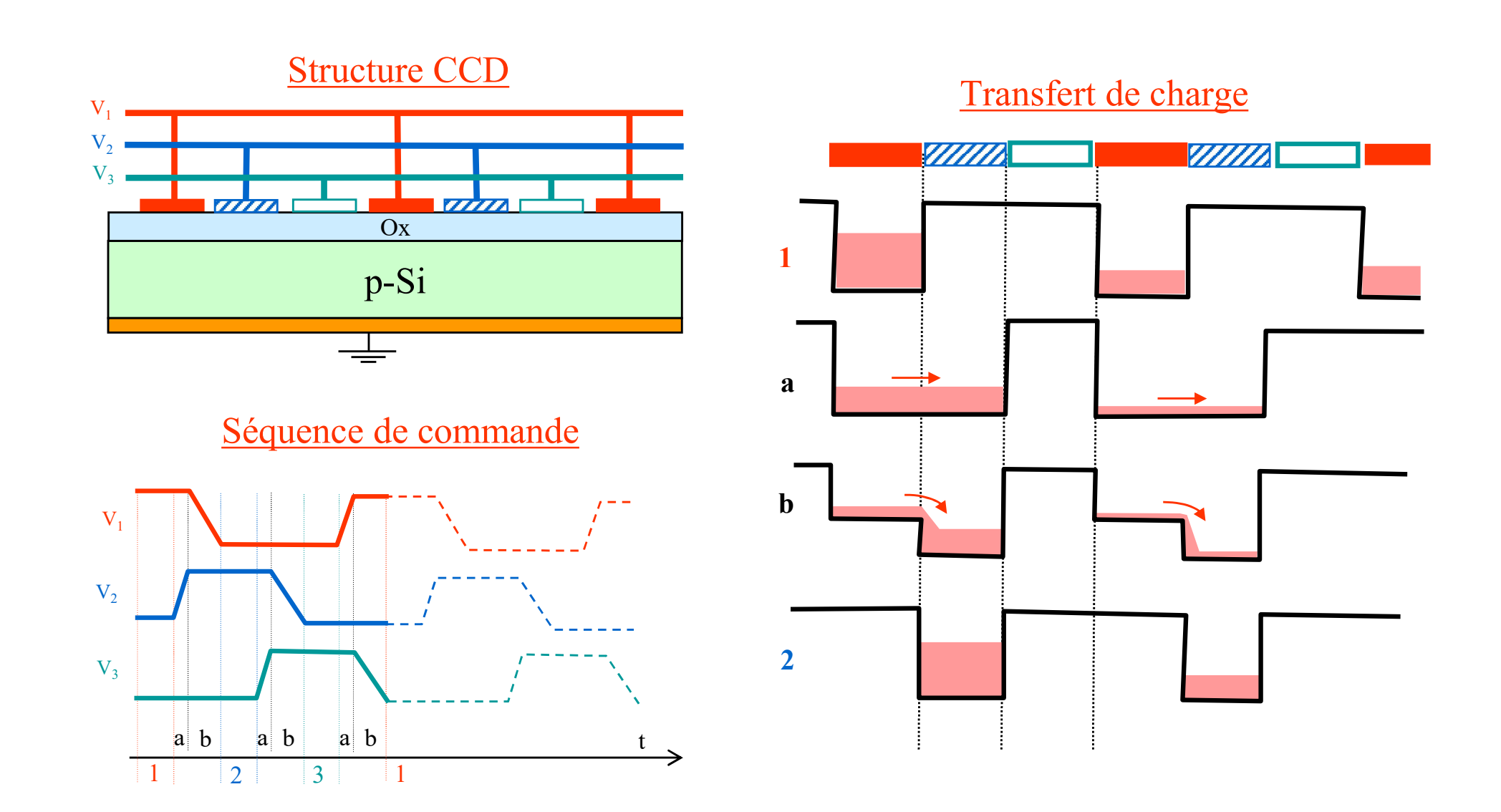
S. Sze « Semiconductor devices »



Avantage: l'information ne « s'étale » pas!

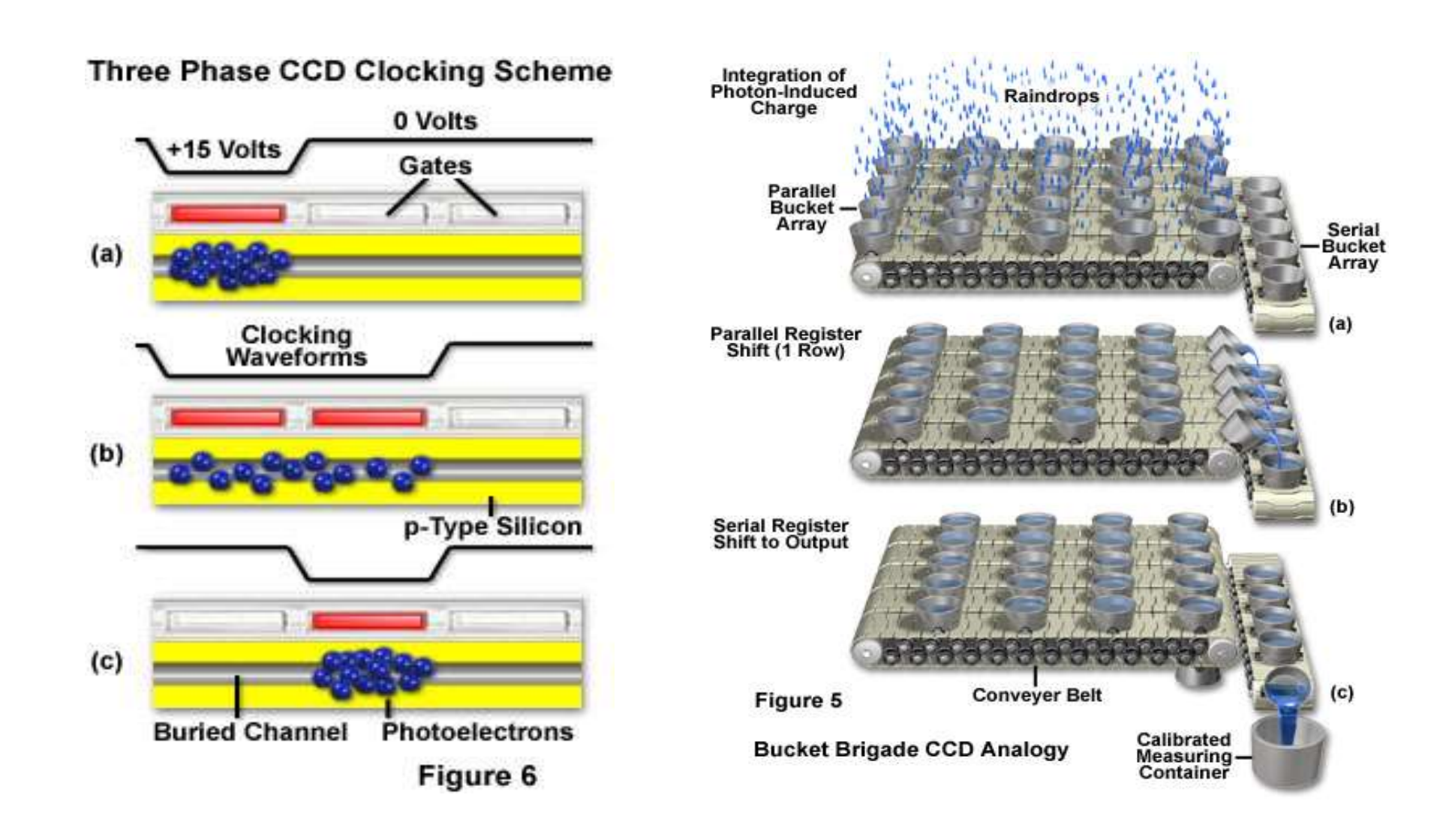


CCD: exemple de séquence



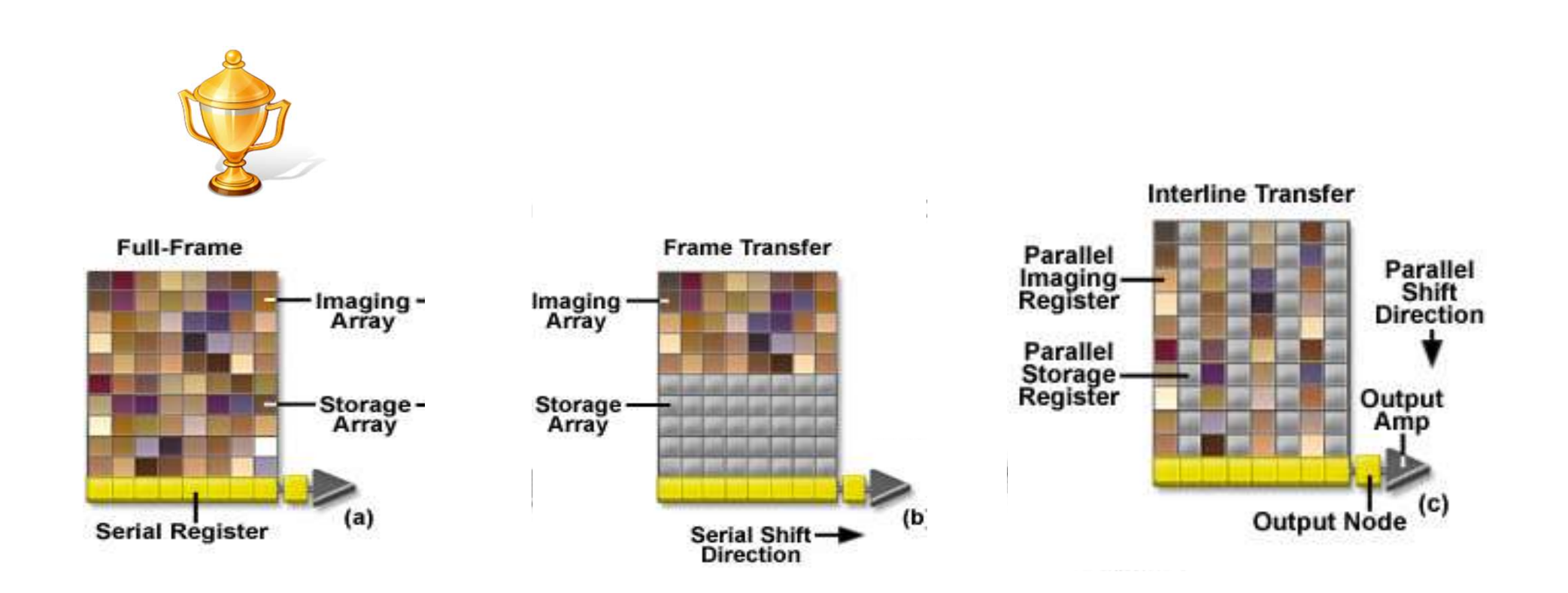


CCD: clocking et read-out (animations internet)





Caméra CCD: read-out (animations internet)



W.S. Boyle, G.E. Smith, prix Nobel de Physique 2009



Capacité: définition

Capacité:

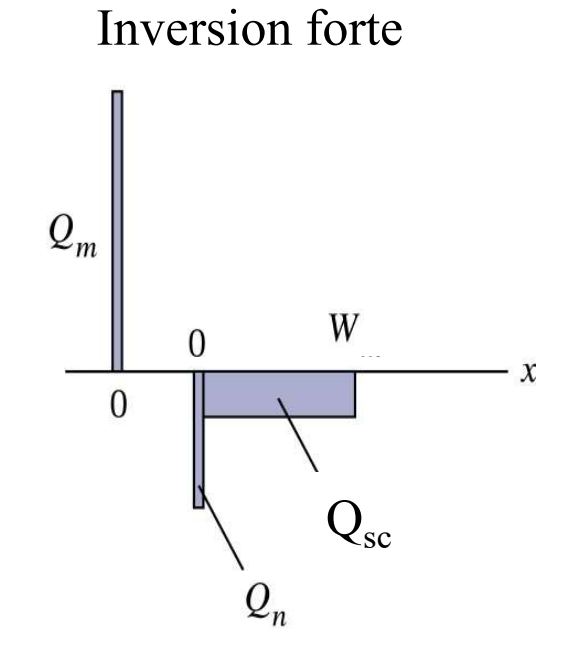
$$C \equiv \left| \frac{\partial Q_m}{\partial V_G} \right|$$

$$Q_m = -(Q_n + Q_{sc})$$

S. Sze « Semiconductor devices »

Q_n: Charges libres à l'interface

Varie par accumulation des minoritaires générés thermiquement → lent



Q_{sc}: Charges fixes dans la zone de déplétion
 Varie par retrait des majoritaires

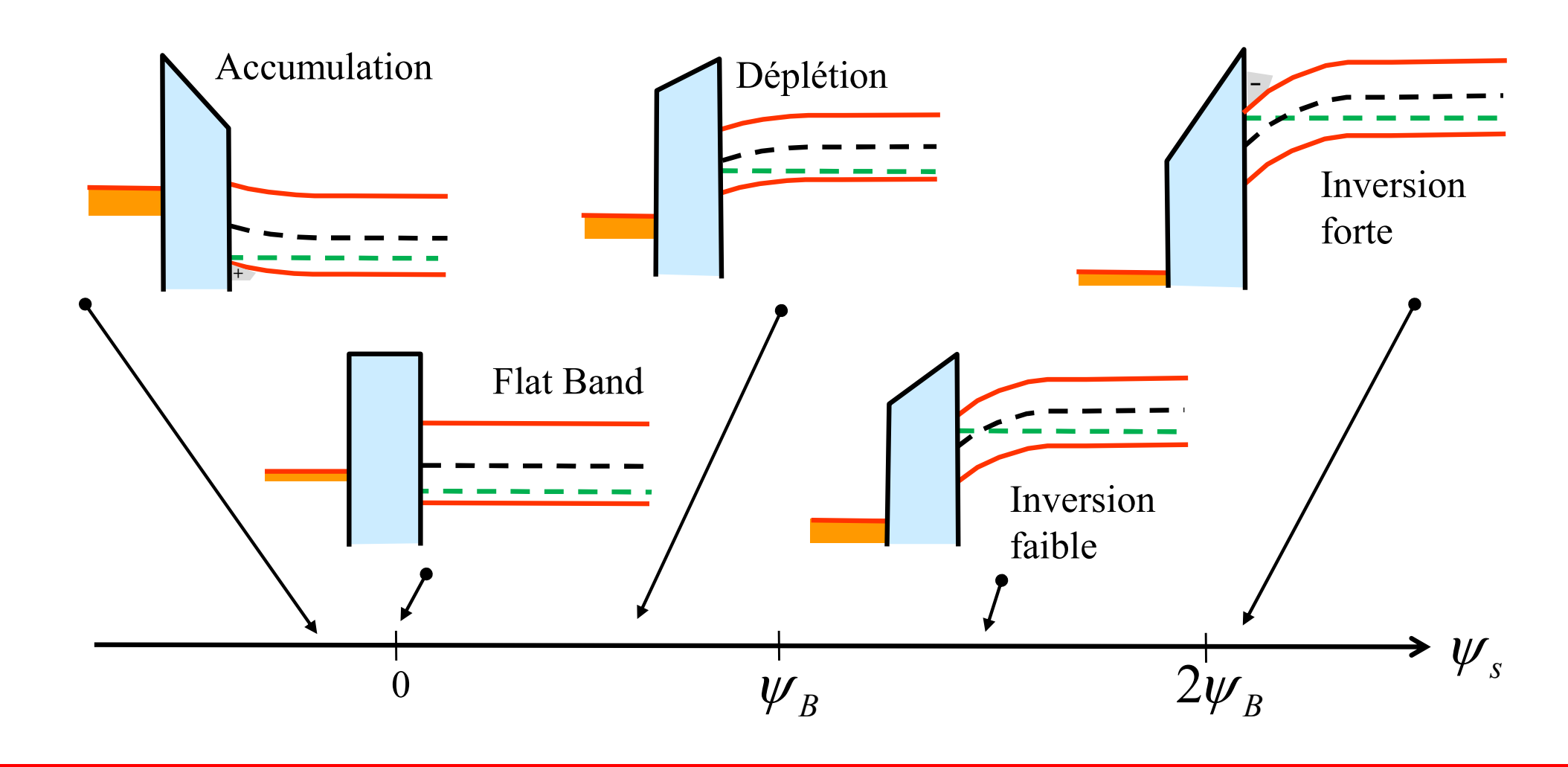
→ rapide



Pliage des bandes et potentiel de surface

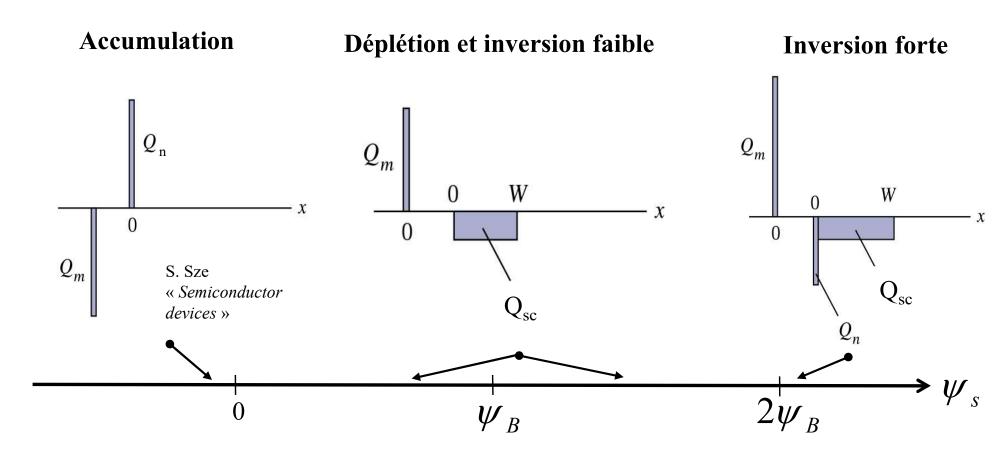


Principe: pas de courant \rightarrow énergie de Fermi E_F constante





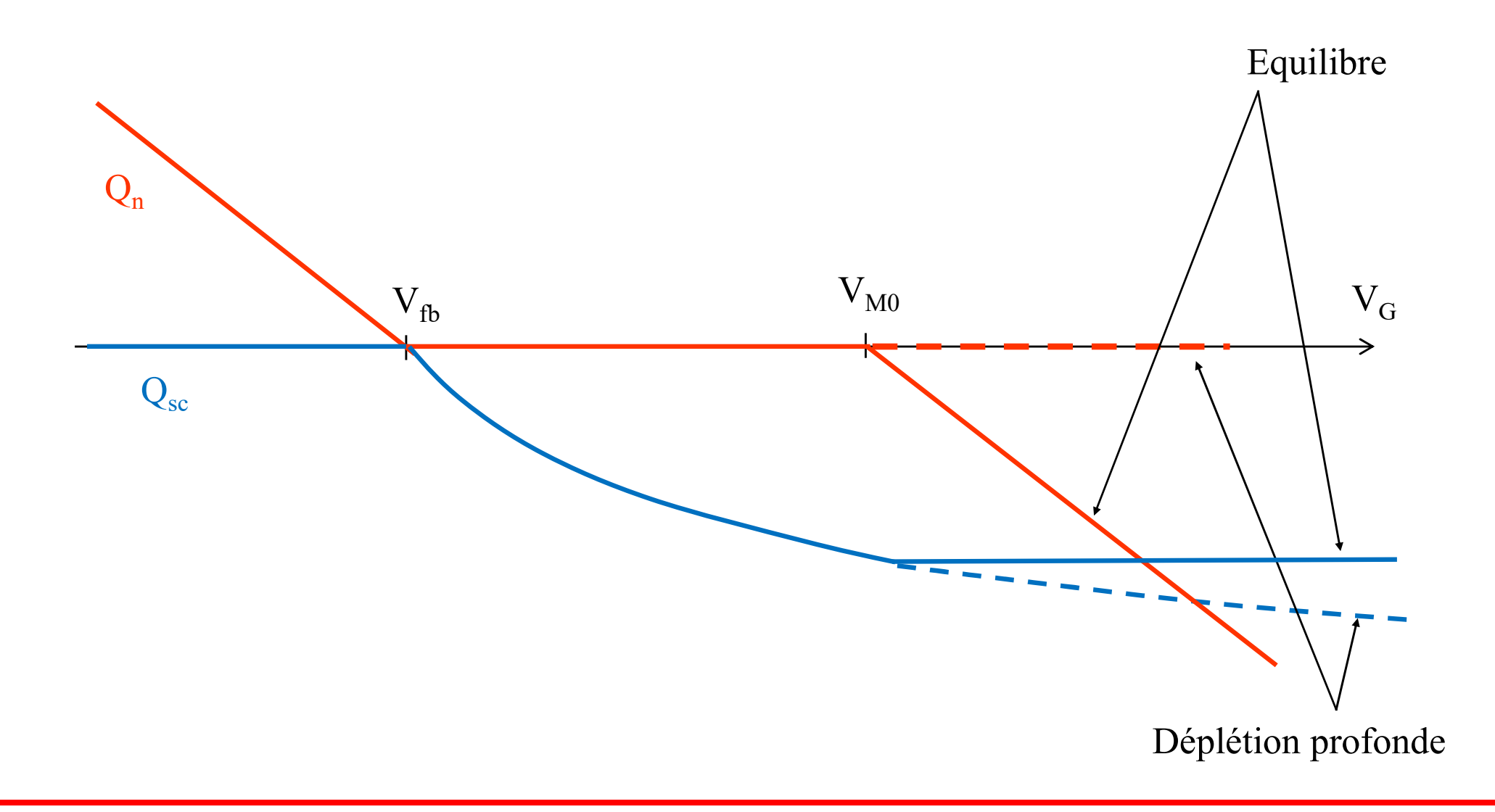
Charges fixes et charges libres: approximation



Charge d'espace Q_{sc} : Charge de surface Q_n : Charge Q_m : charges fixes dans la zone de déplétion charges libres en surface du semiconducteur charges libres en surface du métal.



Comportement qualitatif des charges: cas statiques et dynamiques





Capacité MOS: solutions intuitives

Accumulation



$$C_{ox} = \frac{\mathcal{E}_0 \mathcal{E}_{ox}}{d_{ox}}$$

<u>Inversion forte</u> (basses fréquences)

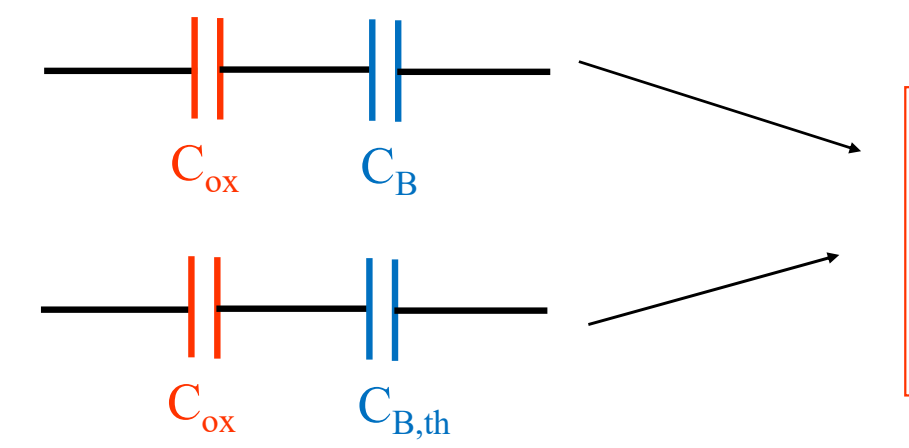


$$C_B = \frac{\mathcal{E}_0 \mathcal{E}_s}{W}$$

$$C_{B,th} = \frac{\mathcal{E}_0 \mathcal{E}_s}{W_{\text{threshold}}}$$

Déplétion, inversion faible, déplétion profonde

<u>Inversion forte</u> (hautes fréquences)

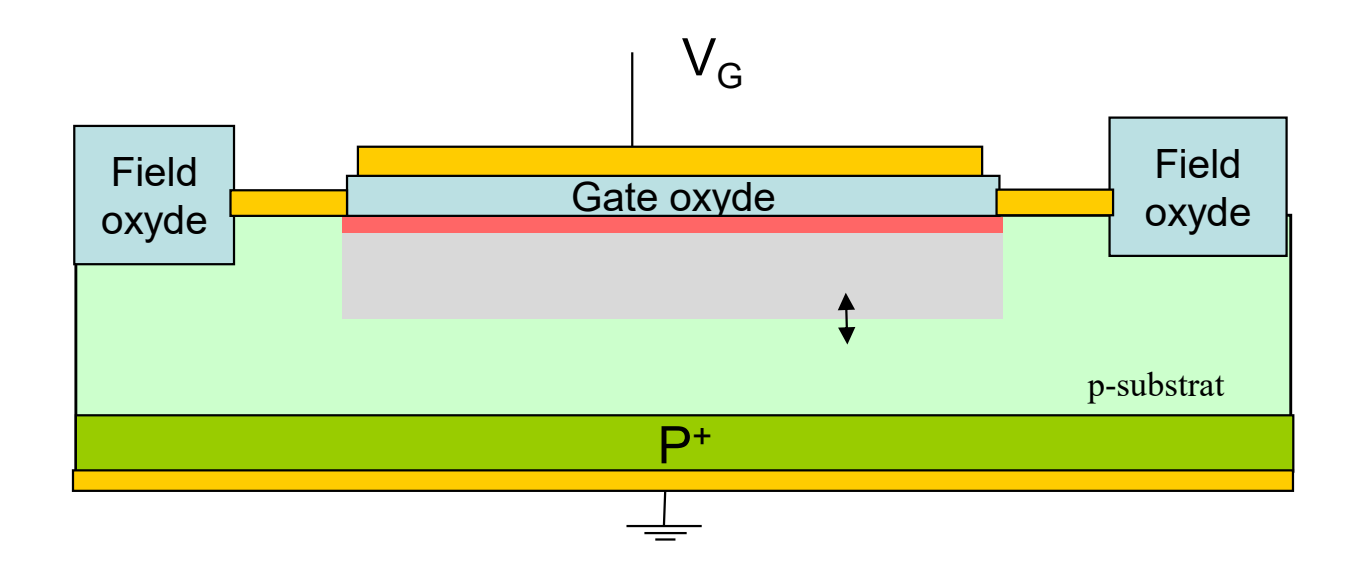


$$C_{mos} = \frac{\mathcal{E}_0}{\left(\frac{d_{ox}}{\mathcal{E}_{ox}} + \frac{W}{\mathcal{E}_s}\right)}$$



Modèle de capacité sans source ni drain

Une tension de bias V_G supérieure au threshold est appliquée sur le gate. Un petit signal haute fréquence (HF) est superposé à la tension de bias pour mesurer la capacité différentielle.



Quel modèle de capacité ?

"sans" source et drain:
$$C_{ox}$$
 $C_{s,th}$ C_{inv}

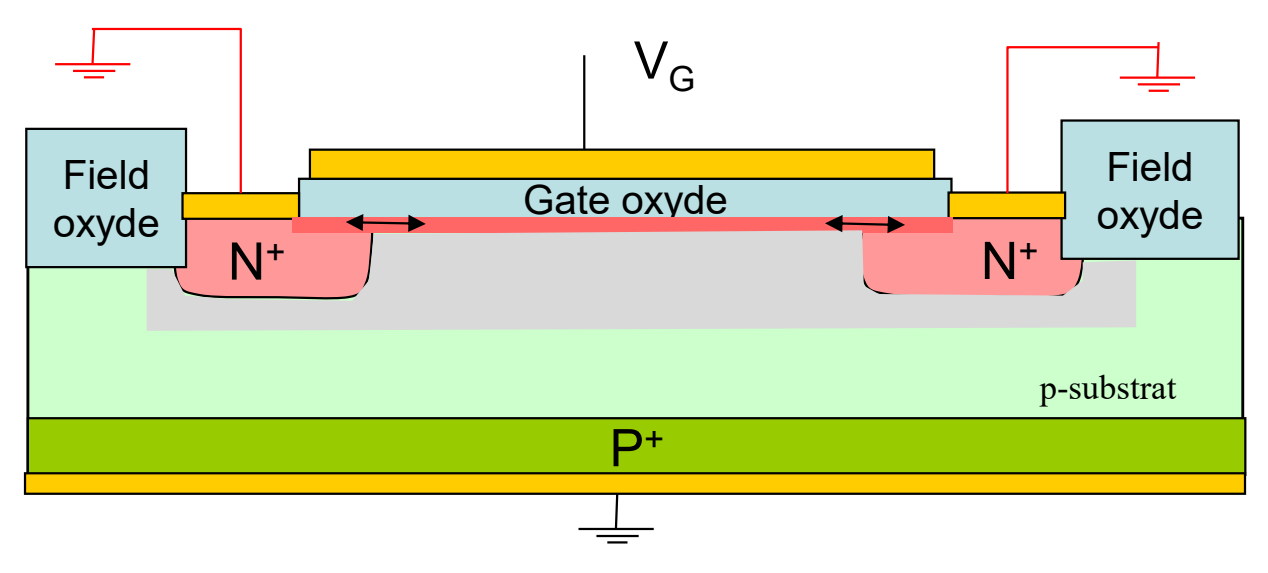
Les charges libres n'ont pas le temps de s'accumuler.

→ les charges fixes de la zone de dépétion doivent varier



Modèle de capacité avec source et drain

Une tension de bias V_G supérieure au threshold est appliquée sur le gate. Un petit signal haute fréquence (HF) est superposé à la tension de bias pour mesurer la capacité différentielle.



Quel modèle de capacité ?

"avec" source et drain:
$$C_{ox} = C_{ox} = C_{o$$

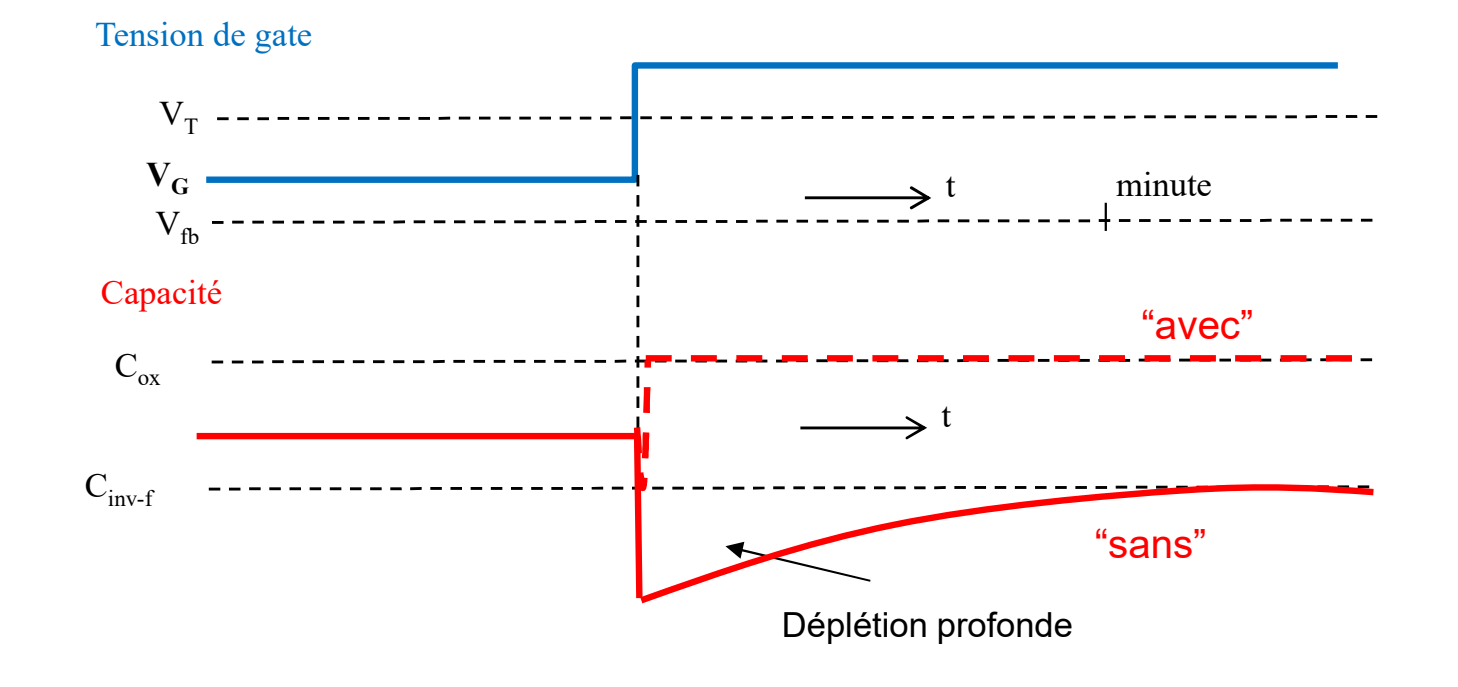
Les électrons peuvent venir rapidement dans le canal à partir de la source et du drain



Modèle de capacité

La tension de bias V_G suit l'évolution temporelle ci-dessous. Le petit signal HF est maintenu tout au long de l'expérience pour mesurer la capacité différentielle.

Esquissez l'évolution de cette capacité pour les structures « sans » et « avec » source et drain.

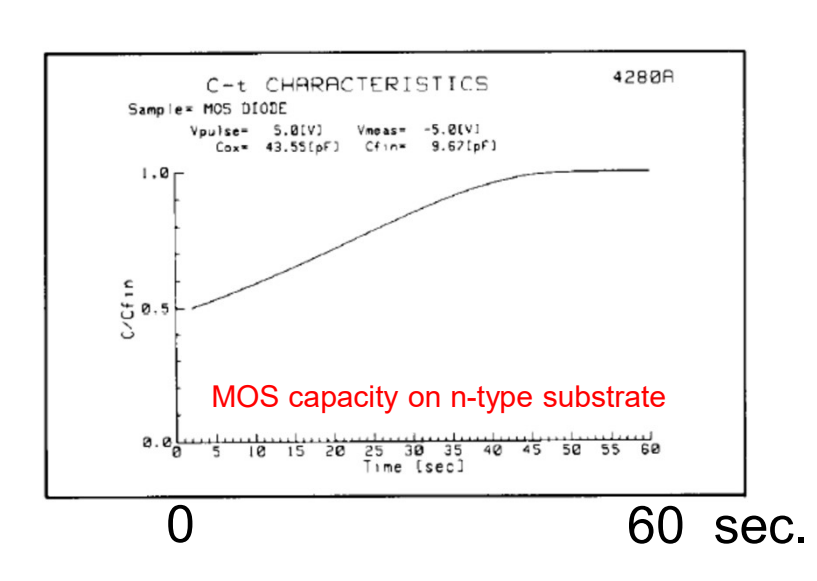


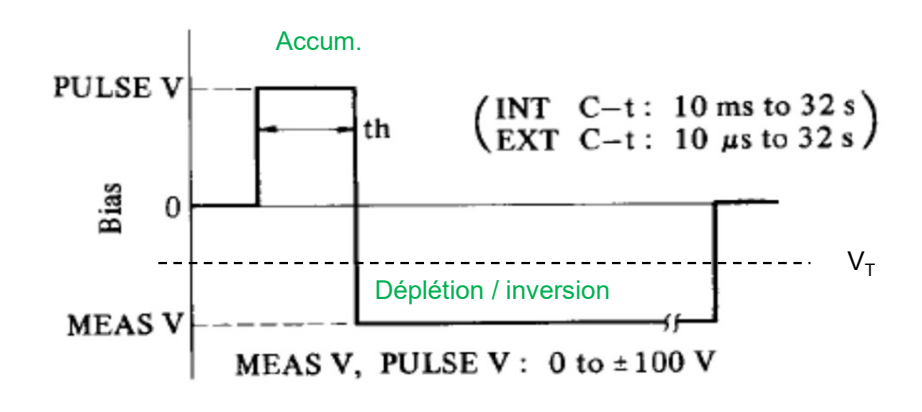


Mesures C-t

HP 4280 A:







n-type substrate

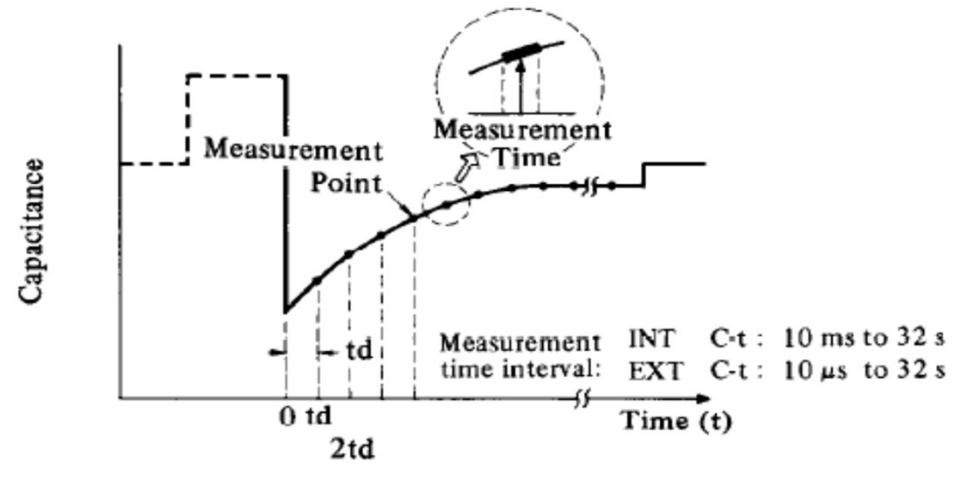


Figure 3-1 C-t Measurement



Exercice E9.1: questions de réflexion



Répondez aux questions de réflexion 9.2 et 9.3 (script fin du chapitre 9) mais pour une jonction MOS sur substrat n.

9.2-n	En fonction du potentiel de surface ψ_s , décrivez les modes de fonctionnement d'une jonction MOS sur substrat n. Esquissez le schéma de bande dans la structure.
9.3-n	En fonction du potentiel de surface ψ_s , esquissez les charges dans une jonction MOS sur substrat n. Comment sont-elles modélisées ? Décrivez le champ électrique et les variations de potentiel qu'elles provoquent dans la structure MOS.